

บทที่ 2

เอกสารและงานวิจัยที่เกี่ยวข้อง

บทนี้เป็นทฤษฎี เอกสารและงานวิจัยที่เกี่ยวข้องกับงานวิจัยนี้ ประกอบด้วย กระบวนการเคลือบฟิล์มบาง การก่อเกิดฟิล์มบาง โครงสร้างของฟิล์มบาง การเคลือบฟิล์มบางด้วยวิธีสปัตเตอริง กระบวนการโกล์วิดิษาร์จ ระบบเคลือบแบบดิซีสปัตเตอริง ระบบเคลือบแบบดิซีเมกนิตرون สปัตเตอริง การเคลือบฟิล์มบางด้วยวิธีรีแอคตีฟสปัตเตอริง และการหลักมนะเฉพาะของฟิล์มบาง ซึ่งมีรายละเอียดดังนี้

กระบวนการเคลือบฟิล์มบาง

การเคลือบฟิล์มบาง (Thin Film) ในสัญญาศาสตร์เริ่มแรกทำโดย Bunsen และ Grove ในปี คศ. 1852 โดยพ่นฐานแล้วแนวคิดเกี่ยวกับ การเคลือบในสัญญาศาสตร์ของการเคลือบฟิล์มบาง คือ การเรียงตัว (Fabricated) โดยการตกเคลือบ (Deposition) ของสารเคลือบในลักษณะอะตอมเดียว บนวัสดุรองรับ (Substrate) จนเกิดเป็นชั้นของฟิล์มที่บางมาก ในระดับนาโนเมตรถึงไมโครเมตร จึงอาจกล่าวได้ว่า “ฟิล์มบาง (Thin Film) หมายถึง ชั้นของอะตอมหรือกลุ่มของอะตอมที่จับรวมกัน เป็นชั้นบาง ๆ” อย่างไรก็การระบุว่าฟิล์ม ได้เป็น “ฟิล์มบาง” นั้นอาจพิจารณาได้จากลักษณะการใช้งานว่าใช้สมบัติค้านไดของฟิล์ม ก้าวคือ ถ้าเป็นการใช้สมบัติเชิงผิว (Surface Properties) จะเรียก ฟิล์มนี้ว่า “ฟิล์มบาง” แต่ถ้าเป็นการใช้สมบัติเชิงปริมาตร (Bulk Properties) จะเรียกฟิล์มนี้ว่า “ฟิล์มหนา” ทั้งนี้จะเห็นว่า ฟิล์มเดียวกันนั้นอาจเป็นทั้ง “ฟิล์มบาง” หรือ “ฟิล์มหนา” ก็ได้ขึ้นกับลักษณะการใช้งานเป็นสำคัญ (Bunshah, 1994)

ปัจุบันมีการนำฟิล์มบางมาประยุกต์ใช้ในงานค้านต่าง ๆ มากมาย เช่น งานค้าน อิเล็กทรอนิกส์ เช่น สารกึ่งตัวนำ ฟิล์มตัวนำ และฟิล์มตัวต้านทาน หรืองานค้านทัศนศาสตร์ เช่น เลนส์ กระจกสะท้อนแสง กระจกสะท้อนความร้อน เป็นต้น นอกจากนี้ยังสามารถใช้วิธีการเคลือบฟิล์มบางในการเตรียมสารตัวอย่างสำหรับใช้ในการศึกษาสมบัติทางกายภาพของวัสดุในรูปของฟิล์มบาง ซึ่งสมบัตินางอย่างไม่สามารถวัดได้เมื่อยู่ในสภาพเป็นก้อน (Bulk) เพราะฉะนั้นข้อมูลเหล่านี้มีประโยชน์อย่างมากต่อการพัฒนาวัสดุเพื่อนำไปใช้ในอุตสาหกรรม

การเคลื่อนพิล์มน้ำ เป็นกระบวนการที่ทำให้สารเคลื่อนตัวเคลื่อนลงบนผิวสัมผัสรองรับที่ต้องการ ซึ่งสามารถทำได้ทั้งกระบวนการทางเคมีหรือกระบวนการทางฟิสิกส์ โดยพื้นฐานแล้ว กระบวนการเคลื่อนพิล์มน้ำมีขั้นตอนสามัญ 3 ขั้นตอน (Smith, 1995) ดังนี้คือ

1. การสร้างสารเคลื่อน (Source) โดยทั่วไปแล้วสารเคลื่อนอาจอยู่ในรูปของแข็งของเหลว ไอ หรือแก๊ส ก็ได้ แต่สารเคลื่อนจะทำการเคลื่อนที่เป็นต้องอยู่ในรูปของไอะเรีย เห่านั้น ซึ่งวิธีการที่ทำให้สารเคลื่อนกล้ายเป็นไอะเรียสามารถทำได้หลายวิธี เช่น การให้ความร้อน หรือการระดมยิงด้วยอนุภาคที่มีพลังงานสูง เป็นต้น

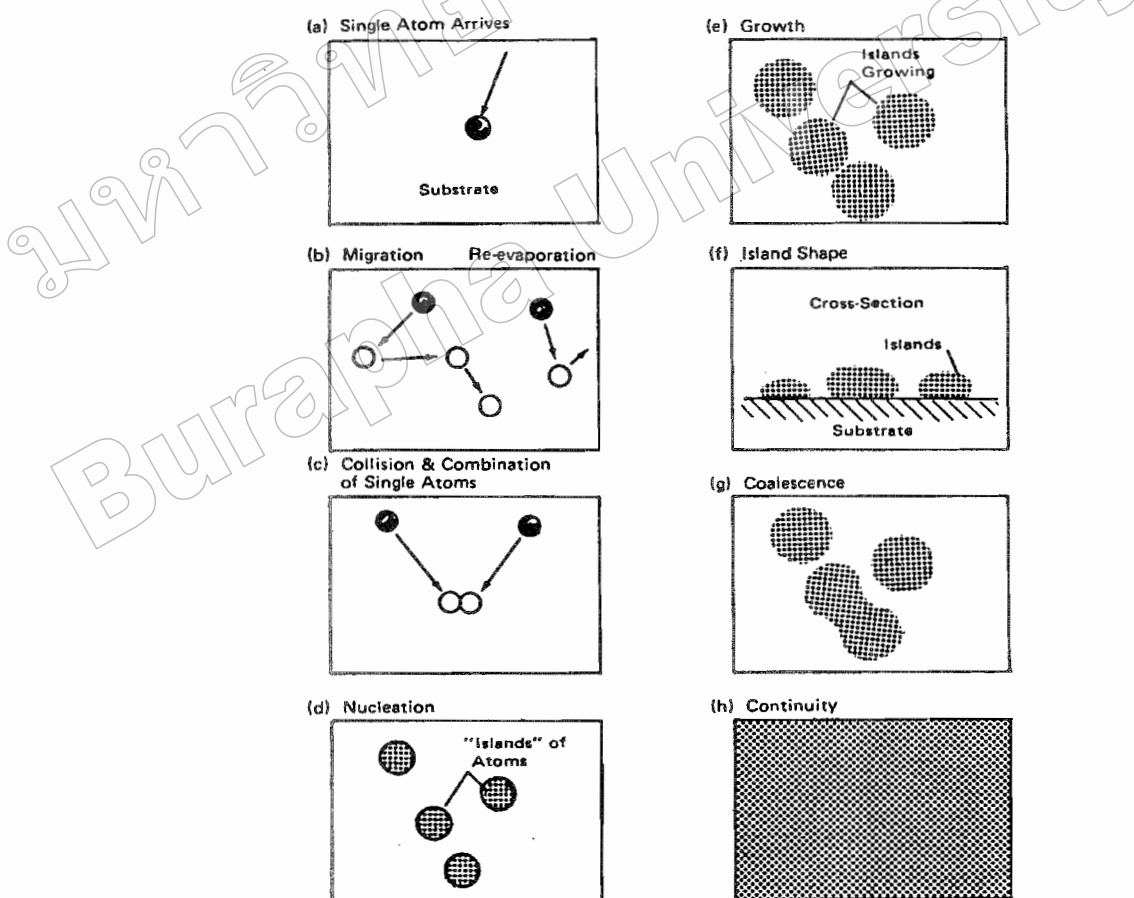
2. การเคลื่อนย้ายสารเคลื่อนมาจังหวัดสัมผัสรองรับ (Transport) ในภาวะสุญญากาศ ไอะเรียของสารเคลื่อนอาจจะมีการเคลื่อนที่เป็นเส้นตรง ไปยังสัมผัสรองรับ หรืออาจจะเคลื่อนที่ไปในลักษณะของไอล ซึ่งจะทำให้ไอะเรียของสารเคลื่อนมีการชนกันอนุภาคอื่นภายในภาชนะ สุญญากาศ นอกจากนี้ไอะเรียอาจจะเคลื่อนที่ไปยังวัสดุรองรับในลักษณะของพลาสมาก็ได้

3. การสะสมพอกพูน (Deposition) เป็นขั้นตอนการพอกพูนของสารเคลื่อนและ toxic ขึ้นจนกล้ายเป็นชั้นของพิล์มน้ำบนวัสดุรองรับ ขั้นตอนนี้จะขึ้นกับเงื่อนไขของวัสดุรองรับหรือ การทำปฏิกิริยาของสารเคลื่อนกับวัสดุรองรับ ความสะอาดของผิวสัมผัสรองรับ ตลอดจนพลังงานที่ใช้ในการเคลื่อน

การก่อเกิดพิล์มน้ำ

การเกิดพิล์มน้ำจากกระบวนการเคลื่อนในสุญญากาศ Chapman (1980) ได้อธิบายไว้ ดังนี้ เมื่อสารเคลื่อนจากแหล่งกำเนิดสารเคลื่อนเคลื่อนมาถึงวัสดุรองรับ สารเคลื่อนที่กระทบผิววัสดุรองรับส่วนใหญ่จะอยู่ในรูปของอะตอมหรือโมเลกุล (ภาพที่ 2-1 (a)) โดยพลังงานพันธะ (Bonding Energy) ระหว่างอะตอมของสารเคลื่อนกับวัสดุรองรับและอุณหภูมิของวัสดุรองรับ จะเป็นตัวกำหนดความสามารถในการแพร่ (Diffusion) ของสารเคลื่อนบนผิวสัมผัสรองรับ อะตอมของสารเคลื่อนจะตกรอบพิวัสดุรองรับในตำแหน่งที่เรียกว่าตำแหน่งการดูดจับ (Adsorption Site) ทำให้เกิดการเกาะติดหรือถ้ามีพลังงานมากพอ ก็อาจขึ้นกำแพงพลังงานไปยังบริเวณที่อยู่ติดกันหรือหลุดจากตำแหน่งนั้นไป (ภาพที่ 2-1 (b)) ในช่วงเวลาหนึ่งอะตอมสารเคลื่อนอาจเกิดการระเหยกลับ และเกิดการรวมตัวกันระหว่างอะตอมที่มีการแพร่ด้วยกัน เมื่ออะตอมของสารเคลื่อนรวมตัวกัน อาจเกิดเป็นอะตอมคู่ (ภาพที่ 2-1 (c)) ซึ่งมีความเสถียรมากกว่าอะตอมเดี่ยว (Single Atom) ซึ่งการรวมตัวกันของอะตอมนั้นขึ้นกับความหนาแน่นของอะตอมเดี่ยวและอัตราเคลื่อน (Deposition Rate) อะตอมคู่อาจรวมตัวกับอะตอมเดี่ยวอีกหนึ่งตัวกลายเป็นสามอะตอม (Triplets) หรือ สี่อะตอม (Quadruplets) หรืออื่น ๆ ลักษณะเช่นนี้เรียกว่า สภาพการเกิดนิวเคลียส (ภาพที่ 2-1 (d)) ทำให้ได้

กลุ่มอะตอมกึ่งเสถียร (Quasi-Stable Islands) จากนั้นกลุ่มอะตอมจะเริ่มโตขึ้นเรียกว่า การโตเป็นกลุ่มก้อน (Island Growth) ขนาดของกลุ่มอะตอมจะใหญ่ขึ้น โดยมีจำนวนอะตอมเพิ่มเดิม หรือเพิ่มขึ้นเล็กน้อย (ภาพที่ 2-1 (e) และ 2-1 (f)) การโตของกลุ่มอะตอมนี้เกิดขึ้นเรื่อยๆ จนกระทั่งขอบของแต่ละกลุ่มอะตอมชนกัน เรียกว่า การรวมกันเป็นก้อนของกลุ่มอะตอม (Agglomeration หรือ Coalescence) (ภาพที่ 2-1 (g)) จากการศึกษาด้วยเทคนิค Transmission Electron Microscopy (TEM) พบว่าขณะที่กลุ่มอะตอมรวมกันเป็นก้อนอะตอมจะมีพฤติกรรมคล้ายของเหลว (Liquid-Like Behaviour) และมีการจัดเรียงทิศทางในเชิงผลักวิทยา (Crystallographic Orientation) ด้วย การรวมกันเป็นก้อนของกลุ่มอะตอมจะเกิดขึ้นจนกระทั่งเชื่อมต่อ กันอย่างต่อเนื่อง (ภาพที่ 2-1 (h)) แต่ในบางกรณีการเชื่อมต่อ กันอย่างต่อเนื่องจะเกิดขึ้นได้อย่างสมบูรณ์เมื่อฟิล์มนีความหนาโดยเฉลี่ยประมาณ $0.04 - 0.05 \mu\text{m}$ ลักษณะพิเศษของฟิล์มนางจะเกิดการรวมกลุ่มอะตอมจะคุณลักษณะและหุบเหา



ภาพที่ 2-1 การก่อเกิดฟิล์มนาง (Chapman, 1980)

เมื่อพิจารณาการเกิดฟิล์มในสภาพที่เป็นก้อนอะตอม (Island) พบว่าอาจเป็นก้อนของ พลักเดี่ยวหรือก้อนของพลักคู่หรือมากกว่านั้น ซึ่งก้อนอะตอมเหล่านี้จะตกเคลื่อนลงบนวัสดุรองรับ ที่เป็นวัสดุหลายพลัก ทิศทางการจัดเรียงตัว (Orientation) ของแต่ละก้อนอะตอมนั้นจะเป็นแบบสุ่ม (Random) ทำให้ได้ฟิล์มบางที่มีโครงสร้างเป็นหลายพลักด้วย แต่ถ้าก้อนอะตอมเหล่านั้นตกเคลื่อนบนวัสดุรองรับที่เป็นพลักเดี่ยว การจัดเรียงตัวของฟิล์มก็จะมีลักษณะเป็นพลักเดี่ยว และเรียกการเกิดฟิล์มแบบพลักเดี่ยวประเภทนี้ว่า เอปิเทกซ์ (Epitaxy)

ถ้าอะตอมที่ผิวของวัสดุรองรับมีพลังงานเพียงพอ อะตอมเหล่านั้นจะเคลื่อนที่เพื่อเลือกเข้าไปอยู่ในตำแหน่งที่มีพลังงานต่ำกว่าเสมอ ทั้งนี้ความสามารถในการเคลื่อนที่ (Mobility) ของอะตอมจะเพิ่มขึ้น ถ้าอุณหภูมิที่ผิววัสดุรองรับสูงขึ้น นอกจากนี้การลดอัตราเคลื่อนยังสามารถช่วยให้การโடของพลักเกิดได้ดียิ่งขึ้น เพราะอะตอมมีเวลาในการโตามากพอ ดังนั้นถ้าอุณหภูมิของวัสดุรองรับสูงและมีอัตราเคลื่อนตัวจะได้ฟิล์มที่มีขนาดของกรนใหญ่ขึ้น มีข้อบกพร่องในกรณีของ และได้ฟิล์มที่มีความหนามากพอสำหรับการเชื่อมต่อ กันอย่างสมบูรณ์ ในทางกลับกันถ้าอุณหภูมิวัสดุรองรับต่ำแต่อัตราเคลื่อนสูงก็จะให้ผลลักษณะเดียวกัน

โครงสร้างของฟิล์มบาง

โครงสร้างของฟิล์มบางจะเป็นไปตามเงื่อนไขของอัตราส่วนระหว่างอุณหภูมิเคลื่อนกับอุณหภูมิหลอมเหลว (T/T_m) ซึ่งแบ่งออกเป็น 4 ส่วน ตามลักษณะโครงสร้างและสมบัติทางกายภาพ (ชีวารัตน์ ม่วงพัฒน์, 2544) ดังภาพที่ 2-2

1. บริเวณ 1 (Zone1) เป็นการเคลื่อนที่เกิดในช่วงอุณหภูมิต่ำ และความดันขณะเคลื่อนมีค่าสูง อะตอมที่อยู่บนผิววัสดุรองรับจะมีค่าสัมประสิทธิ์การแพร่ต่ำ ทำให้เกิดการเกาะกันเป็นก้อนเล็ก ๆ กระჯัดกระจาย และเกิดเป็นโครงสร้างพลักที่มีลักษณะเรียบแหลมแบบ Tapers Crystallites จากนิวเคลียสที่มีปริมาณจำกัด ทำให้เกิดความหนาแน่นของโครงสร้างต่ำ มีช่องว่างขนาดความกว้างในระดับ 100 \AA ที่ T/T_m เท่ากับ $0 - 0.1$ ที่ความดัน 1 mtorr ถ้าความดันสูงบริเวณนี้จะขยายกว้างสู่บริเวณที่มีอุณหภูมิสูงขึ้น และทำให้ขนาดของพลักเพิ่มขึ้น ถ้า T/T_m เพิ่มขึ้น เนื่องจากที่ความดันสูงความหนาแน่นของแก๊สในภาชนะสูญญากาศมีมากขึ้น อนุภาคของสารเคลื่อนจะเคลื่อนที่คล่องมาได้ยากขึ้น ทำให้อุณภูมิของสารเคลื่อนคล่องมาได้น้อย และขณะที่ตกลาจรมรวมตัวกันอนุภาคอื่น ทำให้อุณภูมิที่ตกลงมาเมื่อนำมาให้กับ แล้วมีเวลาในการเคลื่อนที่เพื่อฟอร์มตัวเป็นนิวเคลียสมากขึ้น จึงทำให้ช่องว่างระหว่างกรนมีขนาดใหญ่เกิดขึ้น ลักษณะของฟิล์มบางที่บรรบมักจะเกิดจากความไม่สม่ำเสมอของการโடของนิวเคลียส โดยอุณหภูมิที่มีผลต่อการโടของฟิล์มนั้นมาจากไออกอนที่ระดับยังเป็นส่วนใหญ่

2. บริเวณ T (Zone T) เป็นบริเวณด้านบนสำหรับการเคลือบฟิล์มด้วยระบบ

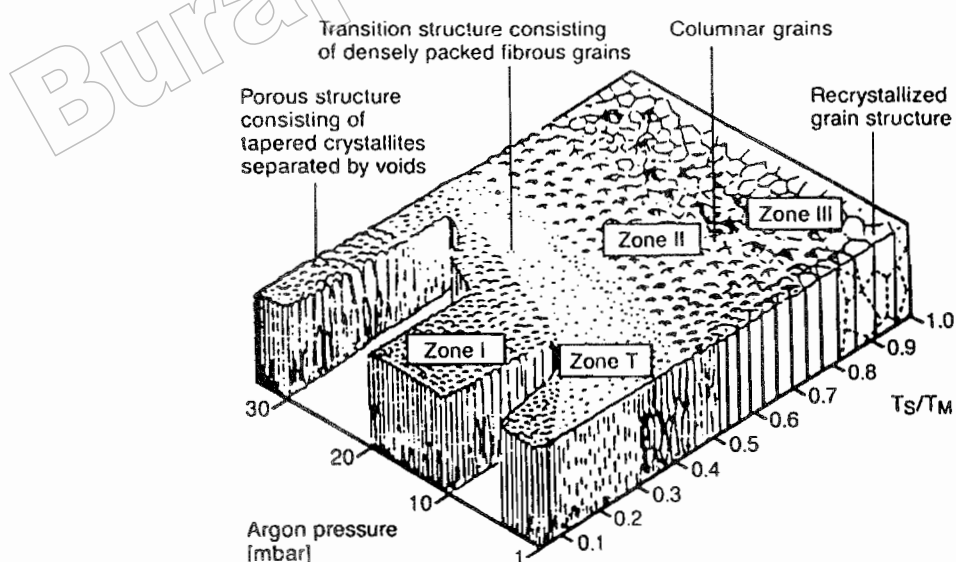
สปีคเตอริง โดยที่ค่าของ T/T_m อยู่ในช่วง 0.1 - 0.5 ที่ความดันขณะเคลือบประมาณ 1 mtorr เกิด ในช่วงระหว่างบริเวณ 1 และบริเวณ 2 อะตอมที่อยู่บนพิวัสดุรองรับจะมีปริมาณมากขึ้น และได้รับ พลังงานจากการชนของอนุภาคสารเคลือบ ทำให้อุณหภูมิของวัสดุรองรับเพิ่มขึ้น ค่า Surface Mobility เพิ่มขึ้น โครงสร้างในบริเวณ 1 จะเข้าสู่บริเวณ T ซึ่งเริ่มมีเกรนยาว (Fibrous Grain) เดิมพื้นที่ ขอบเกรนมีความหนาแน่นสูงขึ้น จึงมีการแพร่ของอะตอมผ่านขอบเกรนที่ไม่แข็งแรง เข้าเป็นเนื้อเดียวกัน จนกลายเป็นคอลัมนาร์ (Columnar) โดยไม่มีช่องว่างบริเวณขอน

3. บริเวณ 2 (Zone II) เป็นบริเวณที่มีค่า T/T_m อยู่ระหว่าง 0.5 - 0.8 ที่ความดันขณะ

เคลือบประมาณ 1 mtorr จะเกิดการแพร่ที่ร้อยต่อระหว่างขอบเกรนจนเกิดเป็นโครงสร้างแบบ คอลัมนาร์จากการอยู่กันอย่างหนาแน่นของผลึก ขนาดเกรนและความหนาฟิล์มเพิ่มขึ้น เนื่องจาก อุณหภูมิในการเคลือบและอัตราการเคลือบ ขนาดของคอลัมนาร์จะเพิ่มขึ้นเรื่อยๆ เมื่ออุณหภูมิ เพิ่มขึ้น เนื่องจากการแพร่ที่บริเวณรอยต่อระหว่างขอบคอลัมนาร์

4. บริเวณ 3 (Zone III) บริเวณนี้อุณหภูมิสูงสุดและค่า T/T_m อยู่ระหว่าง 0.8 - 1.0

ที่ความดันขณะเคลือบประมาณ 1 mtorr การแพร่จะมีค่าสูง และส่งผลต่อโครงสร้างสุดท้าย โครงสร้างที่ได้จะเป็นเกรนที่มีลักษณะเด็กันหมวด ขนาดของ คอลัมนาร์ จะมีขนาดใหญ่ และความ หนาแน่นเพิ่มขึ้นอย่างไรก็ตามที่อุณหภูมิสูงอาจจะทำให้เกิดการจัดเรียงผลึกใหม่ (Recrystallization) เนื่องมาจากการพลังงานสะสมของความเครียด (Stored Strain Energy) ที่เกิดขึ้นตั้งแต่ตอนเคลือบ เกรนที่เกิดขึ้นในขั้นตอนนี้จะเปลี่ยนจาก คอลัมนาร์ เป็นผลึกเดียว



ภาพที่ 2-2 โครงสร้างของการเกิดฟิล์มในรูปแบบต่าง ๆ (ชีวารัตน์ ม่วงพัฒน์, 2544)

การเคลือบฟิล์มบางด้วยวิธีสปัตเตอริ่ง

การเคลือบด้วยวิธีสปัตเตอริ่ง เป็นกระบวนการพอกพูนของชั้นฟิล์มบางที่เกิดจากสารเคลือบที่ได้จากการกระบวนการสปัตเตอร์ การเคลือบด้วยวิธีนี้เกิดขึ้นเมื่ออะตอมของสารเคลือบที่ได้จากการกระบวนการสปัตเตอริ่งเข้าชนวัสดุรองรับและมีการพอกพูนและโถเป็นฟิล์มบางในที่สุด กระบวนการสปัตเตอริ่งคือการทำให้อะตอมหลุดจากผิวของวัสดุ โดยการชนของอนุภาคพลังงานสูง แล้วมีการแตกเปลี่ยนพลังงานและไม่ เมนตัมระหว่างอนุภาคที่วิ่งเข้าชนกับอะตอมที่ผิวสารเคลือบ โดยอนุภาคที่วิ่งเข้าชนอาจเป็นกลางทางไฟฟ้าหรือมีประจุก็ได้ และเนื่องจากไอออนที่ได้จากการกระบวนการสปัตเตอร์ในการเคลือบฟิล์มบางด้วยวิธีสปัตเตอริ่งจะเคลื่อนที่ด้วยความเร็วสูงกว่า วิธีการระเหยสารมาก ดังนั้นเมื่ออะตอมของสารเคลือบวิ่งเข้ากระทบแผ่นวัสดุรองรับก็จะฝังตัวแน่นลงในเนื้อวัสดุที่ต้องการเคลือบมากกว่าวิธีระเหยสาร ดังนั้นการเคลือบด้วยวิธีสปัตเตอริ่งจะทำให้การยึดเกาะระหว่างสารเคลือบกับวัสดุรองรับดีกว่า (พิเชญชัย ลีมสุวรรณ และชนสณา รัตนะ, 2547; Chapman, 1980)

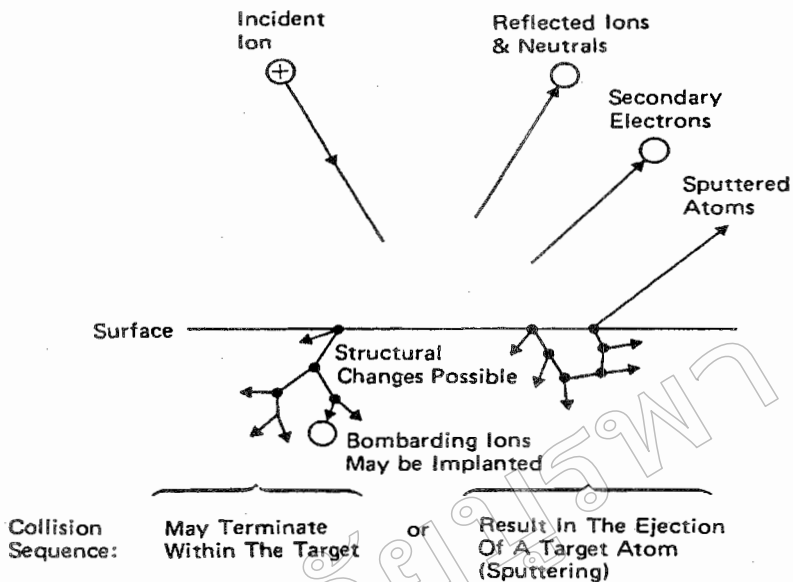
เมื่อผิวหน้าของวัสดุกรอบขึ้นด้วยอนุภาคพลังงานสูงจะทำให้เกิดการสึกกร่อนและมีอนุภาคที่ผิวหน้าของวัสดุนั้นหลุดมา เนื่องจากการชนของอนุภาคพลังงานสูงกับอนุภาคที่ผิวหน้า ปรากฏการณ์ที่อนุภาคผิวหน้าวัสดุหลุดออกมานี้เรียกว่า สปัตเตอร์ (Sputter) หรือสปัตเตอริ่ง (Sputtering) กระบวนการสปัตเตอริ่งถูกพบครั้งแรกเมื่อ 100 กว่าปีที่ผ่านมาโดย Grove ซึ่งขณะนั้นสปัตเตอริ่งเป็นกระบวนการที่ทำให้เกิดความเสียหายกับค่าトイดและกริดในหลอดดิสcharج แต่ปัจจุบันมีการนำมาประยุกต์ใช้อย่างกว้างขวาง เช่น การทำความสะอาดผิวหน้า (Surface Cleaning) การกัดเซาะ (Etching) การวิเคราะห์ชั้นผิวหน้าของวัสดุ (Surface Layer Analysis) และ การเคลือบฟิล์มบาง

สำหรับแนวคิดเบื้องต้นเกี่ยวกับกระบวนการสปัตเตอริ่ง อธินายได้ดังนี้

1. อันตรกิริยะระหว่างไอออนและผิวหน้าวัสดุ เมื่อไอออนพลังงานสูงวิ่งชนผิวหน้าวัสดุ จะเกิดปรากฏการณ์ดังนี้

- 1.1 การสะท้อนที่ผิวหน้าของไอออน (Reflected Ion and Neutral) ไอออนอาจสะท้อนกลับจากผิวหน้าซึ่งส่วนใหญ่จะสะท้อนออกมายังรูปของอะตอมที่เป็นกลางทางไฟฟ้า อันเกิดจากการรวมตัวกับอิเล็กตรอนที่ผิวปีสารเคลือบ

- 1.2 การปลดปล่อยอิเล็กตรอนชุดที่สอง (Secondary Electron Emission) จากการชนของไอออนอาจทำให้เกิดการปลดปล่อยอิเล็กตรอนชุดที่สองจากเปลือกสารเคลือบถ้าไอออนนั้นมีพลังงานสูงพอ



ภาพที่ 2-3 อันตรคิริยะระหว่าง ไออ่อนกับพื้นผิวสัตุ (Chapman, 1980)

1.3 การฝังตัวของ ไออ่อน (Ion Implantation) ไออ่อนที่ว่างชันเป้าสารเคลือบนั้นอาจฟังตัวลงในสารเคลือบ โดยความลึกของการฝังตัวจะเปรียบเท่าโดยตรงกับพลังงาน ไออ่อน ซึ่งมีค่า 10 อัองสตรอน/ พลังงาน ไออ่อน 1 keV สำหรับ ไออ่อนของแก๊สอาร์กอนที่ฟังตัวในทองแดง

1.4 การเปลี่ยนโครงสร้างของผิวสารเคลือบ (Target Material Structural Rearrangements) การชนของ ไออ่อนบนผิวสารเคลือบทาให้เกิดการเรียงตัวของอะตอมที่ผิวสารเคลือบใหม่และเกิดความบกพร่องของผลึก (Lattice Defect) โดยเรียกการจัดตัวใหม่ของโครงสร้างผิวนี้ว่า Altered Surface Layer

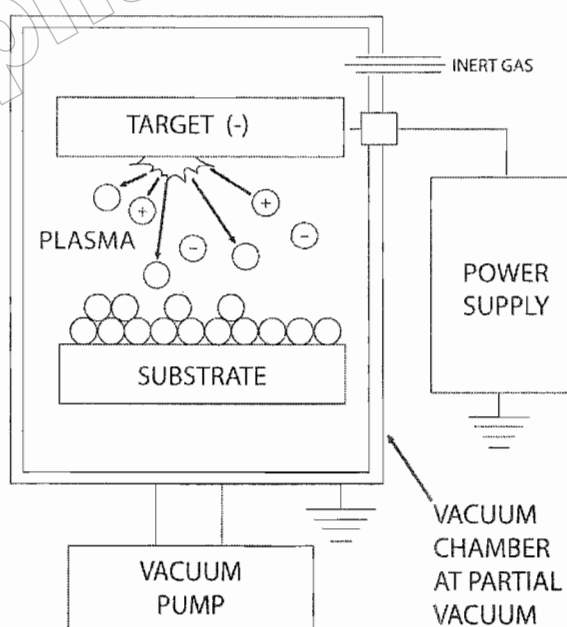
1.5 การสปัตเตอร์ (Sputter) การชนของ ไออ่อนอาจทำให้เกิดกระบวนการชนกันแบบต่อเนื่องระหว่างอะตอมของเป้าอันทำให้เกิดการปลดปล่อยอะตอมจากผิวสารเคลือบซึ่งเรียกว่ากระบวนการสปัตเตอร์

2. กระบวนการสปัตเตอร์ เป็นกระบวนการที่อะตอมผิวน้ำของวัสดุถูกทำให้หลุดออกมากด้วยการชนของอนุภาคพลังงานสูง โดยมีการแลกเปลี่ยนพลังงานและโมเมนตัมระหว่างอนุภาคที่ว่างเข้าชนกับอะตอมที่ผิวสัตุดังกล่าว กระบวนการนี้อนุภาคที่ว่างเข้าชนอาจเป็นกลางทางไฟฟ้าหรือมีประจุก็ได้ดังนั้นสิ่งที่จำเป็นในกระบวนการสปัตเตอร์ คือ

2.1 ผิวสารเคลือบ ทำหน้าที่เป็นเป้าให้อนุภาคพลังงานสูงวิ่งเข้าชนจนมีการปลดปล่อยอะตอมของสารเคลือบลงเคลือบบนวัสดุรองรับ

2.2 อนุภาคพลังงานสูง ซึ่งวิ่งชนเป้าสารเคลือบ และทำให้อะตอมของเป้าสารเคลือบหลุดออกมา ปกติอนุภาคพลังงานสูงนี้อาจเป็นกลางทางไฟฟ้า เช่น นิวตรอน หรืออะตอมของธาตุต่าง ๆ แต่การทำให้อนุภาคที่เป็นกลางมีพลังงานสูงกิน 10 eV เพื่อใช้ในกระบวนการสปีตเตอริงทำได้ค่อนข้างยาก วิธีการหนึ่งที่นิยมคือการเร่งอนุภาคประจุภายในได้ชื่อว่า “electrostatic gun” ระดับพลังงาน ไอดีอนตามต้องการ อิเล็กตรอนเป็นอนุภาคที่มีประจุชนิดหนึ่งที่ผลิตได้ง่ายและสามารถเร่งให้มีพลังงานสูงภายในได้ แต่อิเล็กตรอนมีมวลน้อยกว่าอะตอมของสารเคลือบมากทำให้การถ่ายเทพลังงานและโมเมนตัมต่ออะตอมสารเคลือบนั้นเป็นไปได้อย่างไม่มีประสิทธิภาพและไม่สามารถทำให้กระบวนการสปีตเตอริงเกิดขึ้นได้ตามทฤษฎีทางฟิสิกส์การชนกันระหว่าง 2 อนุภาคที่มีการส่งถ่ายพลังงานและโมเมนตัมดีที่สุดจะเกิดขึ้นเมื่อมวลของอนุภาคทั้งสองมีค่าเท่ากันดังนั้นเราจึงเลือกการเร่งไอดีอนของกีตในสานามไฟฟ้าเป็นอนุภาควิ่งชนเป้าสารเคลือบซึ่งให้อัตราการปลดปล่อยเป้าสารเคลือบสูงเพียงพอ กับความต้องการ

2.3 การผลิตอนุภาคพลังงานสูง อนุภาคพลังงานสูงในระบบสปีตเตอริงนี้ต้องถูกผลิตขึ้นอย่างต่อเนื่อง เพื่อให้กระบวนการเคลือบสารเกิดขึ้นได้อย่างต่อเนื่องจนได้ความหนาพิลึกบางตามต้องการ ทั้งนี้สามารถทำได้หลายวิธี เช่น การใช้ลำอนุภาคจากปืนไอดีอนที่มีปริมาณการผลิตไอดีอนในอัตราสูงหรือผลิตจากกระบวนการโกลว์ดิ沙ร์จเนื่องจากปืนไอดีอนมีราคาค่อนข้างสูง และให้ไอดีอนในพื้นที่แคบ กระบวนการสปีตเตอริงทั่วไปในระดับอุตสาหกรรมจึงนิยมใช้กระบวนการโกลว์ดิ沙ร์จในการผลิตอนุภาคพลังงานสูง



ภาพที่ 2-4 ลักษณะของเครื่องเคลือบสูญญากาศด้วยวิธีสปีตเตอริง (อดิศร บูรณวงศ์, 2551)

3. ค่าyield ของสปัตเตอริง (Sputtering Yield: S) คือ ค่าเฉลี่ยปริมาณการหลุดของอะตอม เป้าสารเคลือบต่อปริมาณการชนของไอออน 1 อนุภาค มีหน่วยเป็น อะตอมต่อไอออน โดยการวัดค่าyield นี้ สามารถทำได้โดยการหาน้ำหนักหรือความหนาที่ลดลงของเป้าสารเคลือบ หรือหาได้จากวัสดุทึ้งหมุดที่ถูกสปัตเตอร์ หรืออาจหาได้จากการตรวจวัดสปัตเตอร์อะตอม (Sputter Atom) ขณะที่ยังฟุ้งกระจาย (พิเชยชู ลิมสุวรรณ และธนสัดา รัตนะ, 2547) ค่าyield ของกระบวนการสปัตเตอริง จะเปลี่ยนไปตามภาวะต่าง ๆ ดังนี้

3.1 เปลี่ยนแปลงตามพลังงานไอออน การชนของอนุภาค 2 อนุภาค ในแนวเดียวกัน การถ่ายเทพลังงานระหว่างอนุภาคจะเป็นไปตามสมการที่ 2-1

$$\Delta E = \frac{4mM}{(m+M)^2} \quad (2-1)$$

เมื่อ ΔE คือพลังงานที่ถ่ายเทระหว่างอนุภาค
 m คือมวลอะตอมที่ถูกชน
 M คือมวลของอะตอมที่ว่างเข้าชน

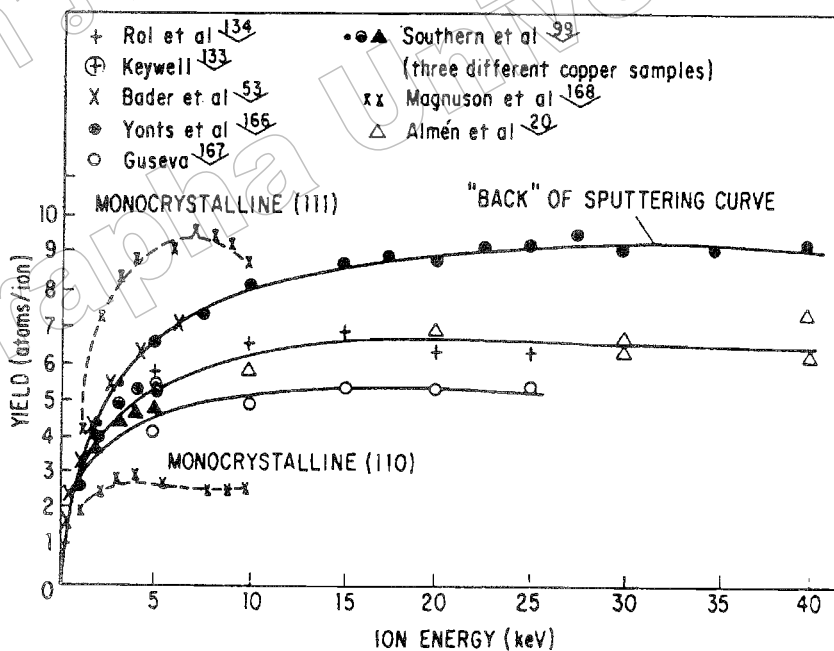
เมื่อพลังงานไอออนมีค่าต่ำมากค่าyield จากกระบวนการสปัตเตอริง จะมีค่าเป็นศูนย์เนื่องจากไม่สามารถเอาชนะแรงยึดเกาะระหว่างอะตอมบนเป้าสารเคลือบได้ เมื่อไอออนมีพลังงานสูงขึ้นเกินกว่า $4H$ (H คือค่าพลังงานเฉลี่ยที่ใช้ในการระเหิด 1 อะตอม จากผิวสารเคลือบ)
 ถ้าพลังงานไอออนสูงมากพอในการทำให้เกิดกระบวนการชนอย่างต่อเนื่องระหว่างอะตอมสารเคลือบและเริ่มมีการปลดปล่อยอะตอมสารเคลือบ เรียกพลังงานค่านี้ว่า พลังงานขีดเริ่ม (Threshold Energies) ซึ่งเปลี่ยนแปลงไประหว่างคุณชนของอนุภาค (ตารางที่ 2-1)

เมื่อไอออนชนมีพลังงานสูงขึ้น yield จะเพิ่มขึ้นอย่างรวดเร็วแบบเอ็กซ์โพเนนเชียลในช่วงแรกและเปลี่ยนเป็นการเพิ่มแบบเชิงเส้นจากนั้นจึงมีการอิ่มตัว (Saturation) ของค่าyield เมื่อพลังงานไอออนมีค่าสูงมาก ทั้งนี้เนื่องจากไอออนพลังงานสูงมีโอกาสในการฝังตัวบนผิวเป้าสารเคลือบสูงขึ้นทำให้yield ของสารเคลือบมีค่าคงที่ จากนั้นจะมีค่าลดลงเล็กน้อยเมื่อเพิ่มพลังงานไอออนให้สูงมากขึ้น ดังแสดงในภาพที่ 2-5

ตารางที่ 2-1 พลังงานปั๊ดเริ่มของเป้าสารเคลือบชนิดต่าง ๆ (Maissel & Glang, 1970)

	Ne	Ar	Kr	Xe	Hg		Ne	Ar	Kr	Xe	Hg
Be	12	15	15	15	-	Mo	24	24	28	27	32
Al	13	13	15	18	18	Rh	25	24	25	25	-
Ti	22	20	17	18	25	Pd	20	20	20	15	20
C	21	23	25	28	25	Ag	12	15	15	17	-
Cr	22	22	18	20	23	Ta	25	26	30	30	30
Fe	22	20	25	23	25	W	35	33	30	30	30
Co	20	25	22	22	-	Re	35	35	25	30	35
Ni	23	21	25	20	-	Pt	27	25	22	22	25
Cu	17	17	16	15	20	Au	20	20	20	18	-
Ge	223	25	22	18	25	Th	20	24	25	25	-
Zr	23	22	18	25	30	U	20	23	25	22	27
Nb	27	25	26	32	-						

Boldface values are those for which the energy-transfer factor $4m_1m_2/(m_1+m_2)^2$ is 0.9 or higher



ภาพที่ 2-5 ยีลด์ของทองแดงที่ถูกชนด้วยไอออกนจากเก๊อสาร์กอนที่พลังงานต่าง ๆ

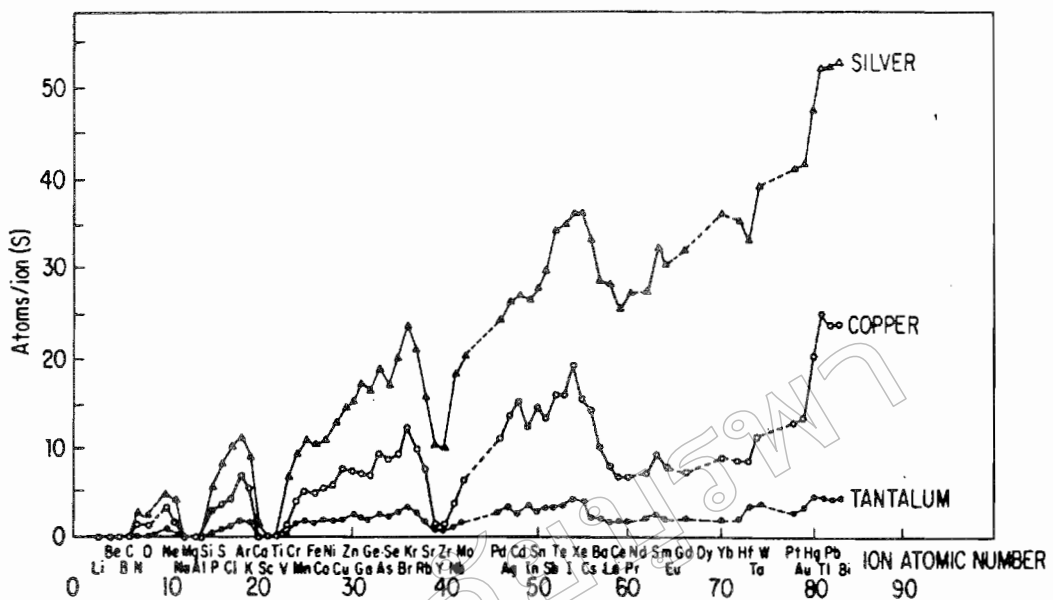
(Maissel & Glang, 1970)

3.2 เปลี่ยนแปลงตามระนาบผลึกของผิวเป้าสารเคลือบ จากการทดลองพบว่าเมื่อใช้เป้าสารเคลือบที่เป็นผลึกเดี่ยวค่าเยลค์จะมีค่ามากที่สุดเมื่อ.ioอนชนเป้าในแนวระนาบที่มีอะตอมหนาแน่นที่สุด และมีค่าต่ำในระนาบที่มีอะตอมเบาบาง ในทางเดียงซึ่งมีโครงสร้างผลึกแบบ FCC (Face Centered Cubic) พบว่าการชนบนระนาบ (111) ซึ่งมีความหนาแน่นอะตอมสูงสุด เยลค์จะมีค่าสูงสุดเมื่อใช้ค่าพลังงาน.ioอนในการชนค่าเดียวกัน ส่วนระนาบที่มีความหนาแน่นอะตอมต่ำ.ioอนมีแนวโน้มวิ่งผิดตัวในเป้าสารเคลือบมากขึ้น

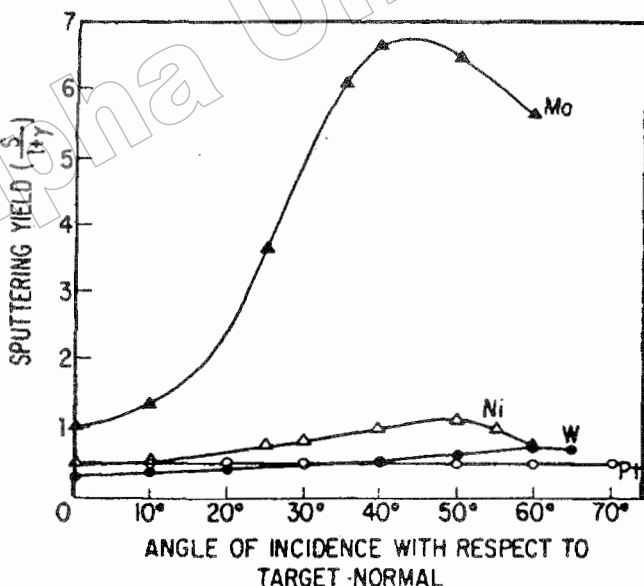
3.3 เปลี่ยนแปลงตามชนิดของ.ioอนที่ชนเป้าสารเคลือบ ค่าเยลค์จากเป้าสารเคลือบชนิดเดียวกัน เมื่อใช้.ioอนต่างชนิดกันวิ่งชนจะมีค่าแตกต่างกันออกไป เมื่อสมการ 2-1 แสดงให้เห็นว่าการถ่ายเทพลังงานระหว่าง 2 อนุภาคที่ชนกันจะมีค่าสูงสุดเมื่อมวลของอะตอมทั้งสองมีค่าเท่ากัน แต่อะตอมบนเป้าสารเคลือบมีค่าสูงสุดเมื่อชนที่มีมวลสูงกว่ามวลของอะตอมเดียวซึ่งพบว่าเยลค์มีค่าสูงขึ้นเมื่อใช้.ioอนที่มีมวลสูงกว่ามวลของอะตอมเดียวซึ่งพบว่าเยลค์มีค่าสูงขึ้นเมื่อใช้.ioอนที่มีมวลสูงกว่ามวลของอะตอมเป้าสารเคลือบ ภาพที่ 2-6 แสดงการเปลี่ยนแปลงของค่าเยลค์พบว่ามีค่าสูงสุดเป็นช่วงๆ ณ ตำแหน่งที่ใช.ioอนจากแก๊สเชือด คือแก๊ส Ne , Ar , Kr , และ Xe ซึ่งเป็นอะตอมที่มีอิเล็กตรอนครบ 8 ในวงนอกสุด สาเหตุของการเกิดจุดสูงสุดของค่าเยลค์เป็นช่วงๆ นี้ยังไม่มีคำอธิบายที่ชัดเจน

3.4 เปลี่ยนแปลงตามมุมตกรอบของ.ioอนบนเป้าสารเคลือบ จากการทดลองพบว่าเมื่อเพิ่มมุมเอียงของการชนจาก.ioอนบนเป้ามากขึ้นเยลค์จะมีค่าสูงขึ้นตามมุมที่เอียงเนื่องจากอะตอมสารเคลือบที่หลุดออกมานำไปเปลี่ยนจาก การกระเจิงกลับ (Back Scattering) เป็นการกระเจิงไปข้างหน้า (Forward Scattering) ซึ่งเป็นกระบวนการที่ต้องการจำนวนครั้งของการชนระหว่างอะตอมน้อยกว่าทำให้เยลค์สูงขึ้นจนถึงจุดหนึ่งซึ่งมีค่าสูงสุดท่องศาการะเอียงมากกว่า 45° จากนั้นเยลค์จะมีค่าลดลงเมื่อมุมสูงขึ้น และเป็นศูนย์เมื่อมุมเอียงมีค่า 90° โดยขณะนั้นพื้นที่การชนมีมองจาก.ioอนมีค่าเป็นศูนย์ ภาพที่ 2-7

4. ความเร็วและพลังงานของอะตอมที่ถูกสปีตเตอร์หลุดออกจากผิวน้ำเป้าสารเคลือบ ด้วยวิธีการสปีตเตอร์มีพลังงานจนก่อนขึ้นสูงและมากกว่าพลังงานของอะตอมที่หลุดออกด้วยวิธีการระเหยสารประมาณ 50 - 100 เท่า อะตอมมีการกระจายพลังงานแบบ Maxwellian โดยที่พลังงานส่วนใหญ่มีค่าต่ำกว่า 10 eV และอีกส่วนหนึ่งมีพลังงานระหว่าง $10 - 40 \text{ eV}$ ถ้า.ioอนที่ใช้มีพลังงานสูงขึ้น พลังงานเฉลี่ยของอะตอมจากสปีตเตอร์จะมีค่าสูงขึ้นจนเมื่อ.ioอนที่วิ่งชนมีพลังงานเกิน 1 keV พลังงานเฉลี่ยของอะตอมจากการสปีตเตอร์จะไม่เพิ่มขึ้นและเป้าที่มีเยลค์สูงมีแนวโน้มทำให้พลังงานเฉลี่ยของอะตอมที่หลุดออกมากมีค่าต่ำ เนื่องจาก.ioอนที่วิ่งชนเมื่อเฉลี่ยพลังงานให้กับอะตอมที่หลุดออกมากจำนวนมาก อะตอมแต่ละตัวจะรับพลังงานเฉลี่ยจาก.ioอนได้น้อยลง



ภาพที่ 2-6 การเปลี่ยนแปลงค่าสิลเด็ของเป้าทองడeng (Cu) , เงิน (Ag) และแทนทาลัม (Ta) เมื่อใช้ ไอออนพลังงาน 45 keV จากธาตุที่มีเลขอะตอมค่าต่าง ๆ (Maissel & Glang, 1970)



ภาพที่ 2-7 การเปลี่ยนแปลงของสิลเด็เมื่อใช้ไอออนของป्रอตอนพลังงาน 200 eV ชนเป้านิกิล (Ni), ไมลินดินัม (Mo) , หั้งสเตน (W) และทองคำขาว (Pt) ที่มุ่งการตกรอบทับค่าต่าง ๆ (วัดเทียบกับแนวชันตั้งฉากบนเป้า) (Maissel & Glang, 1970)

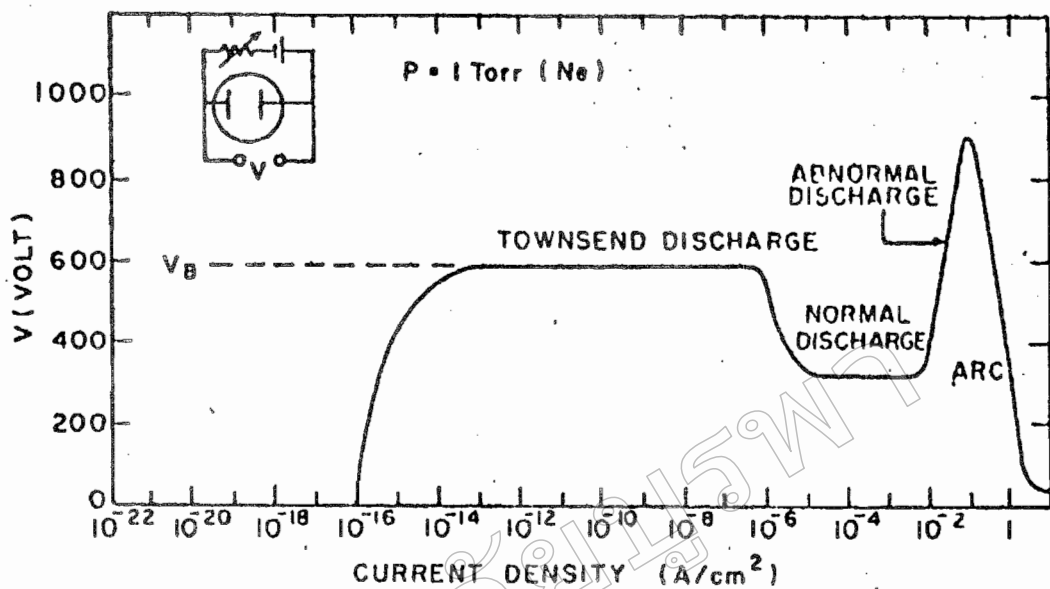
กระบวนการโกลว์ดิสชาร์จ

พิเชยฐ์ ลิ้มสุวรรณ และธนสตา รัตนะ (2547) ได้อธิบายกระบวนการโกลว์ดิสชาร์จไว้ดังนี้ เมื่อป้อนแรงดันไฟฟ้ากระแสตรงให้กับขั้วอิเล็กโทรด 2 ขั้ว ที่วางห่างกันเป็นระยะ d กายใต้ความดันประมาณ 1.33 mbar ของแก๊สนีออน พบร่วงแรงแรกที่เพิ่มแรงดันทางไฟฟ้าจะมีกระแสไหลในวงจรน้อยมาก กระแสส่วนนี้เกิดจากการเคลื่อนที่ของอิเล็กตรอนและไอออนของแก๊สที่เกิดขึ้นตลอดเวลาในบรรยากาศเนื่องจากการชนของรังสีคือสมิคและถูกเร่งภายใต้สนามไฟฟ้า กระแสนี้จะมีค่าค่อนข้างคงที่ เพราะอัตราการเกิดประจุขึ้นอยู่กับความเข้มของรังสี เมื่อศักย์ไฟฟ้าเพิ่มขึ้นใกล้ค่าแรงดันไฟฟ้าทะลาย (Breakdown Voltage: VB) พลังงานของประจุที่ถูกเร่งภายใต้สนามไฟฟ้าจะมีกำลังขึ้นตามความสามารถของแก๊สทำให้เกิดการแตกตัวเป็นไอออนบวกและอิเล็กตรอนซึ่งถูกเร่งภายใต้สนามไฟฟ้าให้มีการชนและเกิดการไออ่อนในซึ่งเพิ่มขึ้น ส่วนของไอออนบวกจะถูกเร่งเข้าชนค่าโตก จนเกิดการปลดปล่อยอิเล็กตรอนทุติยภูมิ (Secondary Electron) เรียกกระบวนการช่วงนี้ว่า ทวนเซนต์ดิสชาร์จ (Townsend Discharge)

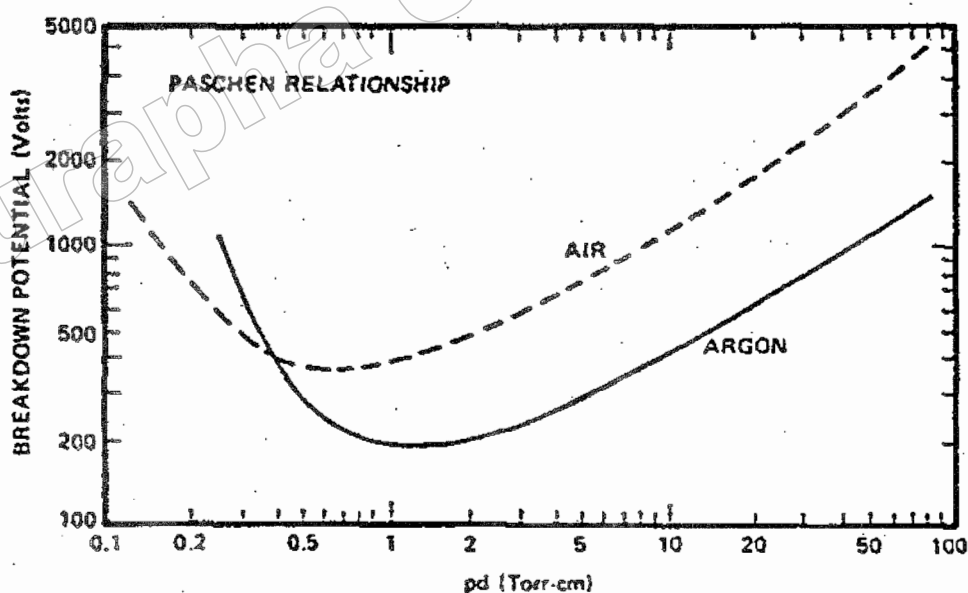
เมื่อแรงดันไฟฟ้าเพิ่มขึ้นถึงแรงดันไฟฟ้าทะลายจะเกิดกระบวนการริดล้ม (Avalanche) ทำให้ปริมาณไออ่อนบวกวิ่งเข้าชนค่าโตกมากขึ้นและมีการปลดปล่อยอิเล็กตรอนทุติยภูมิมากขึ้นซึ่งจะถูกเร่งให้วิ่งเข้าหาอ่อนดูดขณะเดียวกันอิเล็กตรอนทุติยภูมินี้ก็จะมีการชนกับไมเดกูลของแก๊สทำให้เกิดไออ่อนมากขึ้น สรุบท้ายไออ่อนบวกที่เพิ่มขึ้นมากขึ้นนี้ก็จะวิ่งเข้าชนค่าโตกแล้วเกิดการปลดปล่อยอิเล็กตรอนทุติยภูมิเพิ่มขึ้นตามมาด้วย และชนไมเดกูลแก๊สทำให้เกิดผลิตไออ่อนเพิ่มขึ้น ทำให้กระแสเพิ่มขึ้นอย่างรวดเร็วจนมีปริมาณไออ่อนมากเพียงพอที่จะผลิตอิเล็กตรอนได้ในจำนวนคงที่ ช่วงนี้ระบบสามารถรักษาสภาพดิสชาร์จได้ด้วยตนเองโดยไม่ต้องอาศัยแหล่งกำเนิดจากรังสีภายนอกในการผลิตไออ่อน ช่วงนี้แก๊สภายในระบบจะเกิดการเรืองแสงขึ้น แรงดันไฟฟ้าระหว่างอิเล็กโทรดลดลงและกระแสไฟฟ้าเพิ่มขึ้นอย่างรวดเร็วเรียกการเรืองแสงปกติ หรือ นอร์มอลโกลว์ (Normal Glow) สถานะนี้อัตราการปลดปล่อยอิเล็กตรอนทุติยภูมิต่ออัตราการชนของไออ่อนมีค่าค่อนข้างต่ำ คือประมาณ 0.1 สำหรับเป้าค่าโตกที่ทำจากวัสดุหัวไป โดยในช่วงเริ่มต้นของการเรืองแสงหรือโกลว์ การชนของไออ่อนบนค่าโตกจะปรับตัวเองให้เกิดขึ้นในบางบริเวณ แนวการเรืองแสงอาจเลื่อนไปมาได้และการชนของไออ่อนบนค่าโตกไม่มีความสม่ำเสมอโดยความเข้มของบริเวณการเรืองแสงตามแนวขอบหรือมุมของค่าโตกที่มีสนามไฟฟ้าสูงเพื่อรักษาสภาพการโกลว์ (Self-Sustaining) บางบริเวณไว้ เมื่อกระแสไฟฟ้ามีค่าเพิ่มขึ้นตามแนวการชนของไออ่อนจะค่อยๆ ขยายตัว เพิ่มพื้นที่จักรอบคลุมตลอดผิวค่าโตก จนกระทั่งมีค่าความหนาแน่นกระแสเท่ากับต่ำลงโดยมีค่าแรงดันไฟฟ้าระหว่างขั้วอิเล็กโทรดคงที่

หลังจากการชนของ ไอออนครอบคลุมพื้นที่ทึ่งหมดของคาโทดแล้ว การเพิ่มกำลังไฟฟ้าเข้าสู่ระบบจะทำให้ทึ่งแรงดันไฟฟ้าและกระแสไฟฟ้ามีค่าเพิ่มขึ้น เรียกว่า ช่วงการเรืองแสงพิเศษ ปล่งแสงขึ้น หรือ แอบนอร์มอลโกลว์ (Abnormal Glow) เป็นช่วงที่ใช้กับระบบสปีตเตอริง และ อีกหลาย ๆ ระบบของกระบวนการเกี้ยวข้องกับ โกลว์ดิศชาร์ ซึ่งนี้ถ้าไม่รับนายความร้อนให้กับ คาโทด เมื่อความหนาแน่นของกระแสของคาโทดเพิ่มขึ้นสูงประมาณ 0.1 A/cm^2 ความร้อนที่เกิด จากการชนของ ไอออนบวกบนผิวคาโทดมีมากขึ้น จนเกิดการปล่อยอิเล็กตรอนแบบเทอร์มิอ่อนนิค (Thermionic Electron Emission) เสริมกับการปล่อยอิเล็กตรอนทุติยภูมิและติดตามด้วย กระบวนการคลื่นอีกครั้ง ทำให้ความนำไฟฟ้าของแก๊สในระบบสูงขึ้นอย่างรวดเร็ว แรงดันไฟฟ้าระหว่างขั้วอิเล็กโทรดตกลงมากขณะที่กระแสไฟฟ้าเพิ่มสูงขึ้นและปล่อยประกายจ้าของการอาร์ค (Arc Discharge) ภาพที่ 2-8

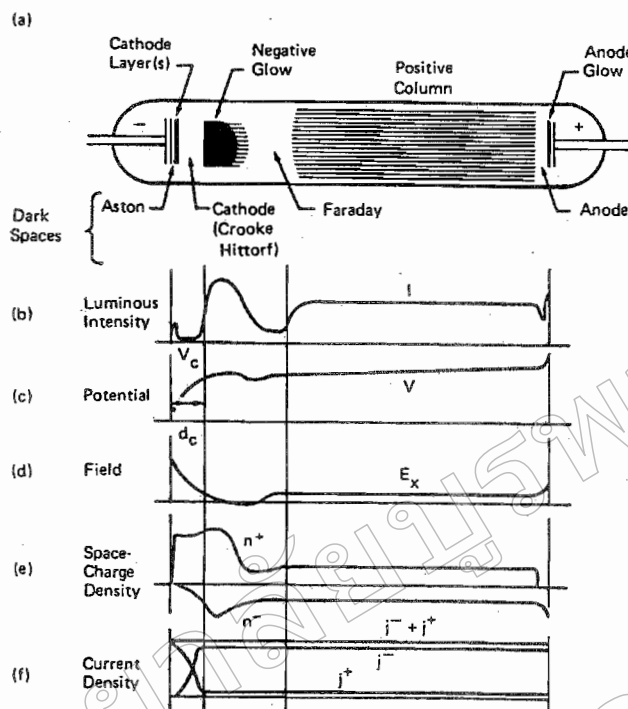
ค่าแรงดันไฟฟ้าทั่วไปในกระบวนการ โกลว์ดิศชาร์ จะมีค่าเปลี่ยนไปตามระยะ d ระหว่างอิเล็กโทรดและระยะปลดการชนระหว่างอิเล็กตรอนทุติยภูมิ และ โนเมลกูลของแก๊ส (ระยะปลดการชนของอิเล็กตรอนทุติยภูมินี้จะเปรียบพันกับความดัน และมีค่ามากกว่าระยะปลดการชนของการชนกันเองระหว่าง โนเมลกูลแก๊ส) ปกติอิเล็กตรอนทุติยภูมิแต่ละตัวมีความสามารถในการผลิต ไอออนบวก ได้ระหว่าง 10 ถึง 20 ตัว เพื่อให้เกิดกระบวนการคลื่นในช่วงของนอร์มอล ไกครัว ถ้าความดันต่ำเกินไป (ระยะปลดการชนยาวขึ้น) หรือระยะทาง d มีค่าน้อยเกินไป อิเล็กตรอนทุติยภูมิจะไม่สามารถผลิต ไอออนได้มากพอ ก่อนการชนกับอาโนด ถ้าความดันสูงเกินไป (ระยะปลดการชนสั้นลง) หรือระยะ d มากเกินไป อิเล็กตรอนทุติยภูมิไม่สามารถเพิ่ม พลังงานให้กับตัวเอง ในส่วนไฟฟ้า ได้มากพอ สำหรับใช้ในการ ไอโอดีนซ์ เมื่อเกิดการชนพลังงาน จะถูกถ่ายทอดให้ โนเมลกูลแก๊ส ในรูปการกระตุ้น (Excite) ขึ้นไปอยู่ในระดับพลังงานที่สูงขึ้นทำให้มีสามารถผลิต ไอออนบวก ได้มากเพียงพอ เช่น กัน ดังนั้น ทั้งสองกรณีจะต้องใช้แรงดันทางไฟฟ้า ทั่วไป ค่อนข้างสูง โดยมีจุดหนึ่งระหว่างนี้ที่ใช้ค่าแรงดันไฟฟ้าทั่วไป ตามกฎของปัชเซ่น (Pachen's law) ซึ่งแสดงให้เห็นความสัมพันธ์ระหว่างแรงดันไฟฟ้าทั่วไป และ พลังงานระหว่าง ความดันแก๊ส (P) และระยะระหว่างอิเล็กโทรด (d) (ภาพที่ 2-9)



ภาพที่ 2-8 ความสัมพันธ์ของความหนาแน่นกระแสและแรงดันไฟฟ้าระหว่างขั้วอิเล็กโทรดของ
กระบวนการเกิดดีซีโกลว์ดิสชาร์จ ในหลอดสูญญากาศบรรจุแก๊สเนื้ออน
(Vossen & Kerns, 1978)



ภาพที่ 2-9 ความสัมพันธ์ระหว่างแรงดันไฟฟ้าระหว่างและผลคูณระหว่างความดัน (P)
และระยะระหว่างอิเล็กโทรด (d) (Bunshah, 1994)



ภาพที่ 2-10 ไกล์วัคิสชาร์จของหลอดนีออนยาว 50 cm ที่ความดัน 1.33 mbar (Chapman, 1980)

ไกล์วัคิสชาร์จในระบบสปีดเตอริงหัวไบเกิดขึ้นในช่วงที่ผลคูณของความดันกับ
ระยะห่างระหว่างอิเล็กโทรด ($P \cdot d$) ซึ่งมีค่าต่ำกว่าจุดต่ำสุดของกราฟ (เนื่องจากการเคลื่อนฟิล์มที่
ความดันต่ำทำให้ฟิล์มที่ได้มีคุณภาพดี การแทรกตัวของแก๊สในเนื้อฟิล์มน้อยและลดปริมาณสาร
ปลอมปนในฟิล์ม) จึงต้องการแรงดันไฟฟ้าเริ่มต้นค่อนข้างสูง บางครั้งจึงมีความจำเป็นต้องใช้
การเพิ่มความดันชั่วขณะเพื่อให้เริ่มการดิสชาร์จได้ที่แรงดันไฟฟ้าต่ำ

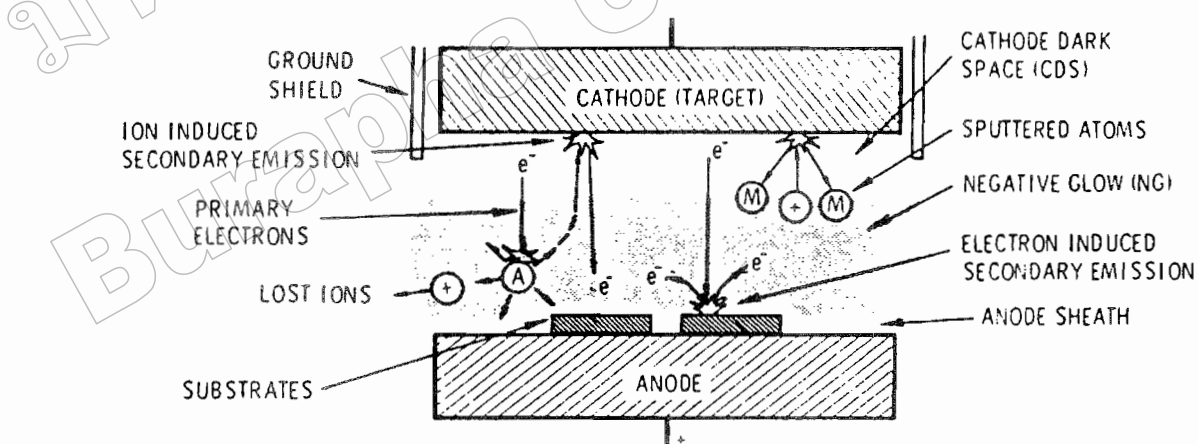
ส่วนต่าง ๆ ของ ไกล์วัคิสชาร์จ (ภาพที่ 2-10) อยู่ภายในได้ดังนี้ ช่วงแรกคือช่วงมีด媪ตัน
(Aston Dark Space) เป็นบริเวณที่อิเล็กตรอนถูกปล่อยจากค่าโทยด้วยพลังงานต่ำประมาณ 1 eV
ซึ่งไม่สามารถไอออกในชั่วโมงเดียวกันแก๊สได้ ทำให้เกิดเป็นช่วงมีด ถัดจากผิวค่าโทยบริเวณที่มี
การเปล่งแสงออกมากด้วยความเข้มสูงมากเรียกว่า ค่าโทยไกล์ว (Cathode Glow) เป็นบริเวณที่
ไอออกของแก๊สจากการดิสชาร์จ และไอออกของอะตอมสารเคลือบซึ่งถูกผลิตขึ้นบริเวณค่าโทยนี้
การรวมตัวเป็นกลางกับอิเล็กตรอนไกล์พิวค่าโทยด้วยกระบวนการต่าง ๆ ทำให้เกิดแสงซึ่งเป็น
ความถี่เฉพาะของสารที่ทำค่าโทยและของแก๊สที่ใช้ เช่น ถ้าค่าโทยเป็นทองแดงจะมีสีเขียว ทองคำมี
สีฟ้า แมงกานีซมีสีฟ้า แอลูมิเนียมมีสีเหลือง ฯลฯ และแก๊สในโตรเจนมีสีม่วงเป็นต้น

ถัดจากค่าโгод์ว์เรียกว่าช่วงมีคrukหรือช่วงมีคาโгод (Crook or Cathode Dark Space) พลังงานของอิเล็กตรอนมีค่าสูงกว่าพลังงานในการไอออกในช่องเดกูลของแก๊สมีอุกกาเร่ ผ่านสนามไฟฟ้าในระยะปลดการชนออกมา ทำให้บริเวณปลดการชนนั้นไม่มีการกระตุ้นหรือ ไอออกในช่องเกิดขึ้น การปลดปล่อยแสงจึงไม่เกิดในช่วงนี้ ถัดจากระยะปลดการชนออกไป อิเล็กตรอนทุกภูมิจะสูญเสียพลังงาน โดยการไอออกแก๊ส ไอออกนบวกที่เกิดขึ้นเคลื่อนที่ได้ช้า กว่าอิเล็กตรอนมาก ทำให้ระยะปลดการชนของอิเล็กตรอนมีการสะสมของไอออกนบวกอยู่มาก (Positive Space Charge) สักปั๊วไฟฟ้าเก็บทั้งหมดต่อครั้งบนบริเวณค่าโgodค่าร์คสเปซ ทำให้ สนามไฟฟ้าบริเวณนี้สูงขึ้นเกินพอด้วยการเร่งอิเล็กตรอนชนและไอออกในช่องเดกูลของแก๊สในเวลา ถัดมาทำให้หลังการเกิดนอร์มอลโgod แรงดันไฟฟ้าที่ต่อครั้งขึ้นอีก โตรดมีค่าลดลงตามกราฟ ภาพที่ 2-8 ส่วนอิเล็กตรอนเมื่อเลยจากบริเวณที่ผลิตไอออกของค่าร์คสเปซแล้วจะมีพลังงานลด พลังงานที่เหลือจึงเพียงใช้ในการกระตุ้นโmodeกูลแก๊ส แม้อิเล็กตรอนจะเป็นอนุภาคที่เคลื่อนที่ได้เร็ว แต่พลังงานที่เหลือน้อยมากรวมทั้งประจุบวกและประจุลบรวมของไอออกในบริเวณค่าร์คสเปซทำ ให้อิเล็กตรอนใช้เวลาในการเคลื่อนที่ผ่านช่วงเรืองแสงน้านนี้และเกิดการสะสมประจุลบบริเวณ นี้จึงเรียกว่าเนกากีฟ โgod (Negative Glow)

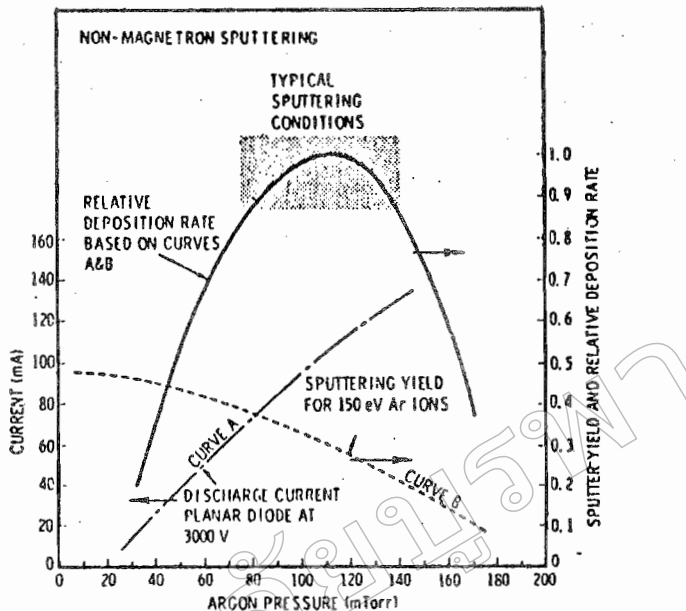
จากนั้นอิเล็กตรอนจะมีพลังงานลดลงจนไม่สามารถกระตุ้นโmodeกูลแก๊สให้อยู่ในระดับ พลังงานสูงได้ ทำให้เกิดบริเวณมีคrukช่วงหนึ่งเรียกว่า ช่วงมีคฟาราเดย์ (Faraday Dark Space) ถัด จากช่วงนี้กระบวนการที่เกิดขึ้นคล้ายกับการดิสชาร์จของท่านนีชันด์ซึ่งมีปริมาณอิเล็กตรอน ค่อนข้างคงที่ถูกเร่งภายใต้สนามไฟฟ้าค่าต่ำ ๆ ทำให้อิเล็กตรอนถูกเร่งเข้าสู่อาโนด และมีพลังงาน สูงพอสำหรับการกระตุ้นโmodeกูลของแก๊สหรือ ไอออกในช่องเดกูลและเกิดการเรืองแสงขึ้นที่บริเวณนี้อีกครั้ง หนึ่ง อิเล็กตรอนซึ่งเคลื่อนที่เร็วจะถูกความเข้าสู่อาโนดอย่างรวดเร็วทำให้พลาสมานบริเวณนี้มีประจุ บวกสูงกว่าจึงเรียกว่า ลำเรืองแสงสักปั๊วไฟฟ้าบวก (Positive Glow Column) การรักษาสภาพโgod ดิสชาร์จขึ้นกับปริมาณของอิเล็กตรอนที่ถูกผลิตขึ้นบริเวณค่าโgodจากการชนของไอออกที่ถูกผลิต บริเวณเนกากีฟ โgod การเปลี่ยนแปลงตำแหน่งอาโนดเพียงน้อยจะไม่มีผลต่อกระบวนการ โgod ดิสชาร์จ เมื่อเลื่อนอาโนดเข้าหากาโgod จนพื้นช่วงมีคฟาราเดย์ เข้าสู่เนกากีฟ โgod จนถึงช่วง ค่าโgodค่าร์คสเปซ ทำให้ปริมาณไอออกที่ถูกผลิตจากอิเล็กตรอนทุกภูมิมีปริมาณน้อยลง การรักษา สภาพโgod ดิสชาร์จไว้จนเป็นต้องใช้แรงดันไฟฟ้าที่สูงขึ้นส่งผลถึงปริมาณไอออกที่ถูกผลิตสูงขึ้น ด้วย การ โgod ในลักษณะนี้เรียกว่า օปสตรัค โgod (Obstructed Glow) เมื่อเลื่อนอาโนดเข้าใกล้ ค่าโgodจนพื้นขอบของ ค่าโgod ค่าร์คสเปซ ซึ่งมีระยะสั้นกว่าระยะปลดการชนของอิเล็กตรอน จะไม่มีการผลิตไอออกเกิดขึ้นและกระบวนการดิสชาร์จไว้ได้ ถ้าหากมีสิ่งสกปรกบริเวณค่าโgod การาร์คอาจเกิดขึ้นโดยไม่เกิดการ โgod ดิสชาร์จได้

ระบบเคลือบแบบดีซีสปัตเตอริ่ง

ภาพที่ 2-11 แสดงระบบเคลือบแบบดีซีสปัตเตอริ่งพื้นฐานอย่างง่าย (พิเชยชู ลิ่มสุวรรณ และธนสตา รัตนะ, 2547; Bunshah, 1982; Smith, 1995) ซึ่งประกอบด้วยค่าโถดคือแผ่นเป้าสารเคลือบ และอาโนดคือหัววัสดุรองรับหรือชิ้นงานที่ต้องการเคลือบ ปกติจะระหว่างค่าโถดและวัสดุรองรับอยู่ระหว่าง 4 - 10 cm เพื่อป้องกันการสูญเสียอะตอมสารเคลือบที่ผ่านของภาชนะสูญญากาศ โดยหัวไประยะด้าร์คสเปช อยู่ระหว่าง 1 - 4 cm โดยอาโนดอยู่บริเวณนาฬิกาฟิกอล์ฟ ส่วนอุปกรณ์ทำงานอยู่ในช่วงขอบนอร์มอลโกล์วิติษหาร์ แก๊สที่ใช้เป็นแก๊สเคลือบซึ่งให้ผลดีสูง และไม่ทำปฏิกิริยากับสารเคลือบ (ปกติใช้แก๊สอาร์กอน) ขณะเกิดโกล์วิติษหาร์ที่ความดันค่าน้ำหนึ่งกระบวนการไออ่อนในชั้นรักษาสภาพโกล์วิติษหาร์ไว้ตระบานที่ระยะดาร์คสเปชไม่นักกว่าจะระยะระหว่างค่าโถดและอาโนด เมื่อความดันลดลงหรือแรงดันไฟฟ้าระหว่างอิเล็กโตรดสูงขึ้น ระยะปลดการชนของอิเล็กตรอนจะสูงขึ้น ทำให้ระยะดาร์คสเปชขยายตัวออกและแหล่งผลิตไออ่อนในระบบมีปริมาตรนาน้อยกระแสนลอดลงและอะตอมที่ถูกสปัตเตอร์มีปริมาณลดลงตามปริมาณของไออ่อนและการแสไฟฟ้าในระบบ ที่ความดันต่ำกว่า 10^{-2} mbar ระยะดาร์คสเปชจะยาวกว่าระยะระหว่างอิเล็กโตรด และกระแสไฟฟ้าลดลงสู่ศูนย์ ทำให้กระบวนการผลิตไออ่อนสิ้นสุดลงและไม่มีอะตอมหลุดออกจากเป้าสารเคลือบเนื่องจากการสปัตเตอร์อิก



ภาพที่ 2-11 ระบบเคลือบแบบดีซีสปัตเตอริ่ง (Bunshah, 1994)



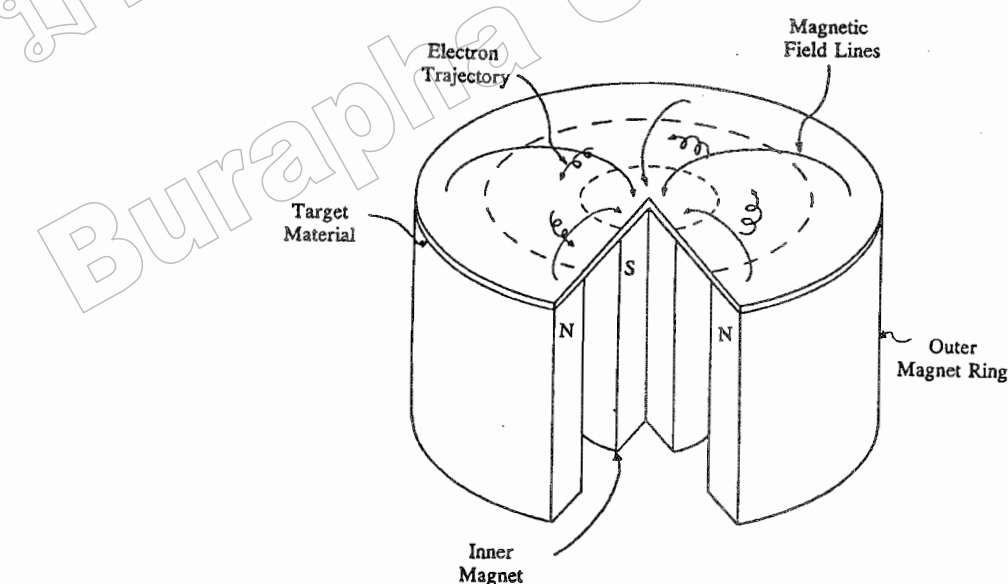
ກາພທີ 2-12 ຜົດຂອງຄວາມດັນໃນຮະບັນທຶນທີ່ມີຜົດຕ່ອງອັຕຣາເຄລືອນ ອໍາຍືດີ ແລະ ກະຮະແສໄຟຟ້າໃນ
ຮະບັນສູປັດເຕອຣິງຂອງນິເກີດທີ່ໃຊ້ແຮງດັນໄຟຟ້າ 3,000 V ຮະຫວ່າງຂ້ວອີເລີກໂຕຣດ
ທີ່ວາງທ່າງກັນ 4.5 cm (Vossen & Kerns, 1978)

ທີ່ນີ້ປະທິຄວາມດັນສູງຂຶ້ນຮະບັນສູປັດເຕອຣິງ ໂດຍບັນລົມທີ່ມີກາຣຝລິຕີໄອອຸນ
ມີປົມາຕຽບສູງຂຶ້ນກະຮະແສໄຟຟ້າທີ່ໄຫລໃນງາງຈະເພີ່ມຂຶ້ນແລະ ກະບວນກາຮສັບຕ່ອຣິງເກີດຂຶ້ນໃນອັຕຣາສູງ
ຕາມຄວາມດັນ ດັ່ງກາພທີ 2-12 ເສັ້ນກາຣຳ A ປະທິຄວາມດັນກາຍໃນຮະບັນສູງຂຶ້ນຮະບັນສູປັດເຕອຣິງ
ຮະຫວ່າງໂນເລກຖອນແກ້ສົມຄໍາລົດລົງ ອະຕອນສາຮເຄລືອນທີ່ຫຼຸດອອກຈາກເປົ້າຈະສົ່ງຜ່ານເຄລືອນນີ້
ວັດຖຸຮອງຮັນໄດ້ຢາກຈາກກາຮນກັນ ໂນເລກຖອນແກ້ສົມແລະ ສະຫຼອນກັບສູ່ເປົ້າສາຮເຄລືອນຫຼື ສູ່
ພັ້ນການະສູ່ຜູ້ກາສທຳໄຫ້ຄ່າຂອງຍືດີຈາກກາຮສັບຕ່ອຣິງມີຄໍາລົດລົງ ແຕ່ມີຄວາມດັນສູງຂຶ້ນ ດັ່ງແສດງ
ໃນກາພທີ 2-12 ເສັ້ນກາຣຳ B ທີ່ນີ້ຜ່ອມຮະຫວ່າງຍືດີ ແລະ ກະຮະແສໄອອຸນຈະທຳໄຫ້ອັຕຣາເຄລືອນມີ
ຄໍາສູງສຸດທີ່ຄວາມດັນຄ່າໜຶ່ງທີ່ນີ້ພົບວ່າກາຮສັບຕ່ອຣິງນິເກີດເມື່ອໃຊ້ແຮງດັນໄຟຟ້າ 3,000 V ຮະຫວ່າງຂ້ວ
ອີເລີກໂຕຣດທີ່ວາງທ່າງກັນເທົ່າກັນ 4.5 cm ໃນແກ້ສອບກອນ ທີ່ນີ້ກາຮເຄລືອນຈະຫຼຸດທີ່ຄວາມດັນມີຄໍາຕໍ່າ
ກວ່າ 2.6×10^{-4} mbar ແລະ ທີ່ຄວາມດັນສູງກວ່າ 1.6×10^{-5} mbar ໂດຍອັຕຣາເຄລືອນຈະມີຄໍາສູງສຸດແລະ ລົດລົງ
ມີຄວາມດັນສູງເກີນຄ່ານີ້ ດັ່ງນັ້ນບັນລົມທີ່ເໝາະສົມກັບກະບວນກາຮສັບຕ່ອຣິງຄື່ອບບັນລົມທີ່ໃຫ້ອັຕຣາ
ເຄລືອນສູງແລະ ປະສິທິທິກາພດີທີ່ສຸດ ຈາກກາພທີ 2-10 ພບວ່າຄວາມດັນທີ່ເໝາະສົມສໍາຫັນກາຮເຄລືອນ
ມີ 1.0×10^{-5} mbar ຄວາມໜານແນ່ນກະຮະແສປະມານ 1.0 mA/cm^2 ດ້ວຍອັຕຣາເຄລືອນ $0.036 \mu\text{m/min}$
ໜີ້ເປັນອັຕຣາເຄລືອນທີ່ຄ່ອນຂ້າງຕໍ່າໃນບັນລົມທີ່ໃຊ້ແຮງດັນໄຟຟ້າຄ່ອນຂ້າງສູງ (ພິເໝຍສູ່ ລື່ມສູວຽຮນ
ແລະ ຕັນສາ ວັດນະ, 2547)

ระบบเคลื่อนแบบดีซีแมกนีตอ่อนสปีตเตอริง

อัตราการเกิดสปีตเตอริงนั้นจะขึ้นกับผลคุณระหว่างยีลเดร์และปริมาณไออกอนที่วิ่งชนเป้าสารเคลื่อน ดังนั้นการเพิ่มอัตราการสปีตเตอร์นั้นนอกจากจะทำได้โดยการเพิ่มยีลเดร์แล้วยังทำได้โดยการเพิ่มปริมาณไออกอนที่วิ่งเข้าชนเป้าสารเคลื่อน ซึ่งในระบบ ดีซี สปีตเตอริง ปกตินั้น ทำได้เพียงการเพิ่มแรงดันไฟฟ้าระหว่างอิเล็กโทรด หรือเพิ่มความดัน ซึ่งจะมีจุดจำกัดสูงสุดที่ ความหนาแน่นกระแสประปามาน 1 mA/cm^2 และความดันประปามาน $1.33 \times 10^{-5} \text{ mbar}$ นอกจากนี้ยังพบว่าในระบบ ดีซีสปีตเตอริงทั่วไปจะต้องของแก๊สที่เกิดการไออกอไนซ์มีค่าน้อยกว่า 1% นอกจากนี้ยังมีข้อเสียเมื่อความดันสูงขึ้นจะทำให้ปริมาณแก๊สที่แทรกตัวในฟิล์มนางที่ได้มีค่าสูงด้วย (พิเชญชัย ลิมสุวรรณ และธนสัดา รัตนะ, 2547)

ต่อมา มีการพัฒนาระบบที่มีเรียกว่า ระบบดีซีแมกนีตอ่อนสปีตเตอริง (พิเชญชัย ลิมสุวรรณ และธนสัดา รัตนะ, 2547; Bunschan, 1994; Smith, 1995) ซึ่งเป็นการใช้สนามแม่เหล็กช่วย โดยนำสารเคลื่อนและมีทิศทางเดียวกับสนามแม่เหล็ก ซึ่งจะช่วยเพิ่มระยะทางเดินของอิเล็กตรอนให้ยาวขึ้น โดยจำนวนของสนามแม่เหล็กจะทำให้อิเล็กตรอนเคลื่อนที่เป็นทางโค้ง (ภาพที่ 2-13) ทำให้การไออกอไนซ์เนื่องจากการชนระหว่างอิเล็กตรอนกับป้องต้อมแก๊สเลื่อยมีค่าสูงขึ้นซึ่งจะทำให้อัตราการสปีตเตอร์สูงขึ้นด้วย



ภาพที่ 2-13 การเคลื่อนที่ของอนุภาคอิเล็กตรอนในสนามแม่เหล็ก (Rickerby & Matthews, 1991)

ทั้งนี้จากการศึกษาการเคลื่อนที่ของอิเล็กตรอนในสนามแม่เหล็ก พบว่าถ้าอิเล็กตรอนมี ทิศทางการเคลื่อนที่ตั้งฉากกับสนามแม่เหล็ก อิทธิพลของสนามแม่เหล็กจะทำให้อุบัติประจุนั้น เคลื่อนที่ในแนววงกลม (ภาพที่ 2-14 (a)) ด้วยรัศมี

$$r = \frac{3.37 \sqrt{W}}{B} \quad (2-2)$$

เมื่อ W คือพลังงานของอิเล็กตรอนในหน่วย eV

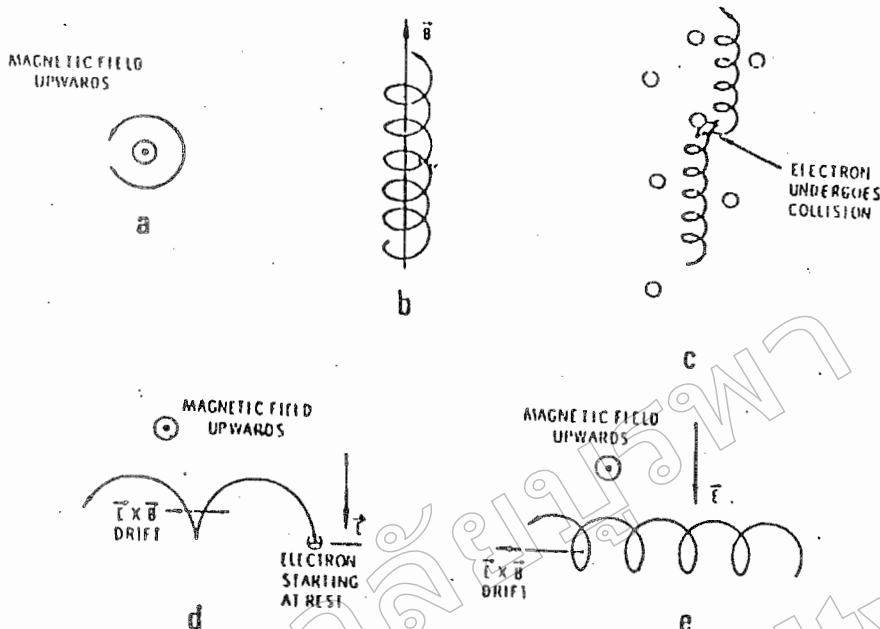
B คือความเข้มสนามแม่เหล็กในหน่วย gauss

ถ้าพลังงานเฉลี่ยของอิเล็กตรอนในแนวตั้งฉากกับสนามแม่เหล็กมีค่า 10 eV และ สนามแม่เหล็กมีความเข้ม 100 gauss รัศมีการหมุนมีค่าเท่ากับ 0.1 cm ด้วยความถี่การหมุน เท่ากับ 2.8×10^8 Hz ภาพที่ 2-14 (b) แสดงอิเล็กตรอนมีความเร็วส่วนหนึ่งในแนวขานานกับ สนามแม่เหล็กอิเล็กตรอนจะเคลื่อนที่หมุน围绕แนวสนามแม่เหล็กด้วยจำนวนเดินเร่งคงที่ค่า หนึ่งระหว่างนี้ถ้าอิเล็กตรอนชนกับอะตอมแก๊ส ภาพที่ 2-14 (c) แนวการหมุน围绕 สนามแม่เหล็กจะเปลี่ยนไป ถ้าอิเล็กตรอนเคลื่อนที่ภายใต้ในสนามแม่เหล็กและสนามไฟฟ้าซึ่งมี ทิศทางตั้งฉากกัน จำนวนของสนามที่สองนักจากจะทำให้อิเล็กตรอนเคลื่อนที่ในแนวโถงแล้วยัง สามารถทำให้เกิดการเคลื่อนที่ในแนวตั้งฉากกับสนามแม่เหล็กและสนามไฟฟ้าเรียกว่าการเคลื่อนที่ แบบลอยเลื่อน (Drift motion) มีค่าเท่ากับ

$$V_E = \frac{10^8 E}{B} \quad (2-3)$$

เมื่อ E คือสนามไฟฟ้าหน่วยเป็น V/cm

B คือความเข้มสนามแม่เหล็กในหน่วย gauss

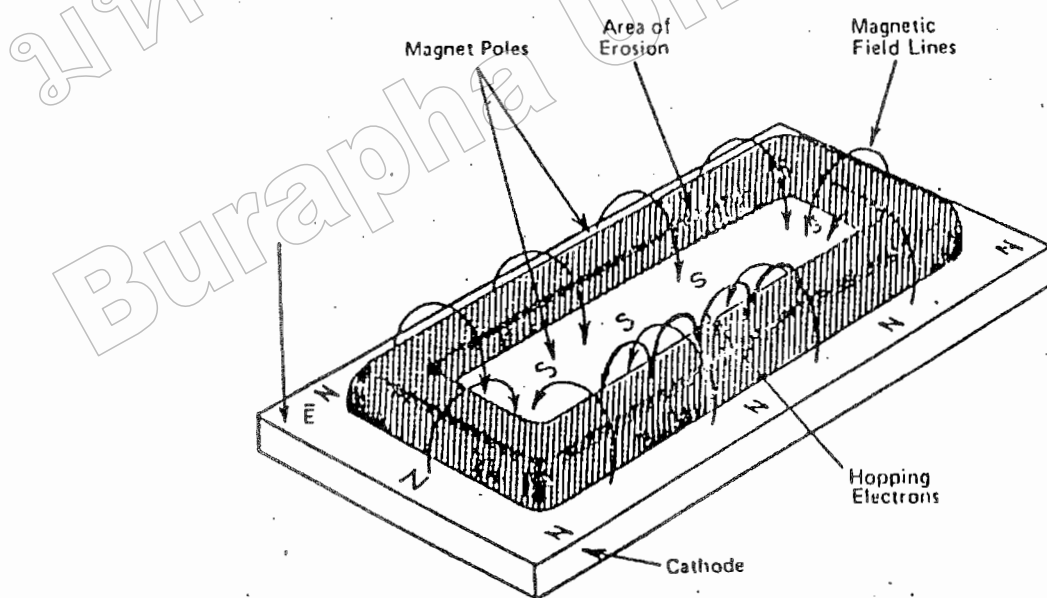


ภาพที่ 2-14 การเคลื่อนที่ของอนุภาคในสนามต่าง ๆ โดยที่ a, b, c เป็นการเคลื่อนที่ของอนุภาคประจุในสนามแม่เหล็กอย่างเดียวส่วน d และ e เป็นการเคลื่อนที่ของอนุภาคประจุในสนามแม่เหล็กและสนามไฟฟ้าร่วมกันในลักษณะต่าง ๆ (Bunshah, 1994)

กรณีสนามไฟฟ้านิรవัต Carrick Stipe มีค่าประมาณ $1,000 \text{ V/cm}$ และสนามแม่เหล็กมีค่าประมาณ 100 gauss จะให้ค่าความเร็วรอยเลื่อน (Drift Velocity) เท่ากับ 107 m/s ซึ่งเป็นค่าที่ค่อนข้างสูงกรณีพลังงานเริ่มต้นของอิเล็กตรอนมีค่าน้อยเมื่อเทียบกับพลังงานที่ได้รับจากสนามไฟฟ้า การเคลื่อนที่ของอิเล็กตรอนจะเป็นรูป Cycloid ดังภาพที่ 2-14 (d) ถ้าอิเล็กตรอนมีพลังงานเริ่มต้นสูงกว่าพลังงานที่ได้รับจากสนามไฟฟ้า การเคลื่อนที่แบบลอยเลื่อน จะอยู่ในแนววงกลมซ้อนกันดังแสดงในภาพที่ 2-14 (e) พฤติกรรมที่ปรากฏต่ออิเล็กตรอนนี้จะค่อนข้างมากถึงแม้จะใช้สนามแม่เหล็กมีค่าน้อย ๆ ระหว่าง $50 - 500 \text{ gauss}$ แต่จะมีผลในการเบี่ยงเบนแนวทางเดินของไอออน (ซึ่งมีมวลสูงกว่าอิเล็กตรอนมาก) อย่างไม่เด่นชัด

ระบบสปีตเตอริงที่ใช้สนามแม่เหล็กช่วยเพิ่มปริมาณไอออนนั้น ถ้าสนามแม่เหล็กมีทิศทางขนานกับสนามไฟฟ้าจะเรียกว่า สนามตามยาว (Longitudinal Field) จะทำให้ประสิทธิภาพการเพิ่มไอออนไม่สูงนักแต่ไม่ทำให้แนวการเกิดโกล์วิดิศชาร์จเปลี่ยนแปลงไปและยังสามารถรักษาความสม่ำเสมอของฟลัมบางไว้ได้ดี กรณีของสนามแม่เหล็กตั้งฉากกับสนามไฟฟ้าเรียกว่า สนามตามขวาง (Transverse Field) โดยกระบวนการเพิ่มปริมาณไอออนเกิดขึ้นดังนี้ หลังจากที่

ไอออนบวกชั้นกับเป้าสารเคลือบและเกิดการปลดปล่อยอิเล็กตรอนชุดที่สองของมา อิเล็กตรอนชุดที่สองจะเคลื่อนที่ในลักษณะเดียวกับภาพที่ 2-14 (d) ทำให้อิเล็กตรอนถูกกักอยู่ในบริเวณสนามแม่เหล็กไกลิกาโตก และเคลื่อนที่แบบลอยเลื่อน ตามแนวผิวหน้าของคากาโตก (ภาพที่ 2-15) ทำให้อิเล็กตรอนมีโอกาสชนกับโนเมเลกุลแก๊สบริเวณผิวหน้าเป้าสารเคลือบมากขึ้นจนเพิ่มปริมาณไอออนสูงมากไกลิกิผิวเป้าสารเคลือบ อิเล็กตรอนด้วยที่ไม่ชนโนเมเลกุลของแก๊สจะเดินทางเป็นวงโถงเข้าชนเป้าสารเคลือบและผลิตอิเล็กตรอนชุดที่สองมากขึ้นเป็นผลทำให้ไอออนถูกผลิตในปริมาณสูงมากและเกิดไกลิกิผิวคากาโตก ทำให้เกิดสภาพชาร์จจากไอออนบวกสูงที่ผิวคากาโตก ซึ่งอาจสั้นกว่าระยะปลดการชน ในดีซีสปัตเตอริงที่ความดันใช้งานมากแรงเกิดขึ้นไฟฟ้าเกือบทั้งหมดจะตกคร่อมบริเวณนี้และมีค่าสนามไฟฟ้าสูงกว่าบริเวณดาร์คสเปชในดีซีสปัตเตอริง ขณะไม่มีสนามแม่เหล็กมากทำให้ความต้องการแรงดันไฟฟ้าระหว่างขั้วอิเล็กโทรดของระบบแมgnีตรอนสปัตเตอริงลดลงทั่วไปมีค่าประมาณ 300 - 800 V ถ้าใช้สนามแม่เหล็กกับแมgnีตรอนทรงกระบอกจะเรียกว่า แมgnีตรอนสปัตเตอริงทรงกระบอก (Cylindrical Magetron Sputtering) และถ้าใช้สนามแม่เหล็กกับระบบดีซีสปัตเตอริงที่ใช้เป็นแบบแผ่นราบจะเรียกว่า พลานาร์แมgnีตรอนสปัตเตอริง (Planar Magnetron Sputtering)



ภาพที่ 2-15 การจัดสนามแม่เหล็กและแนวการกัดกร่อนของเป้าสารเคลือบในระบบพลาnar
แมgnีตรอนสปัตเตอริง (Chapman, 1980)

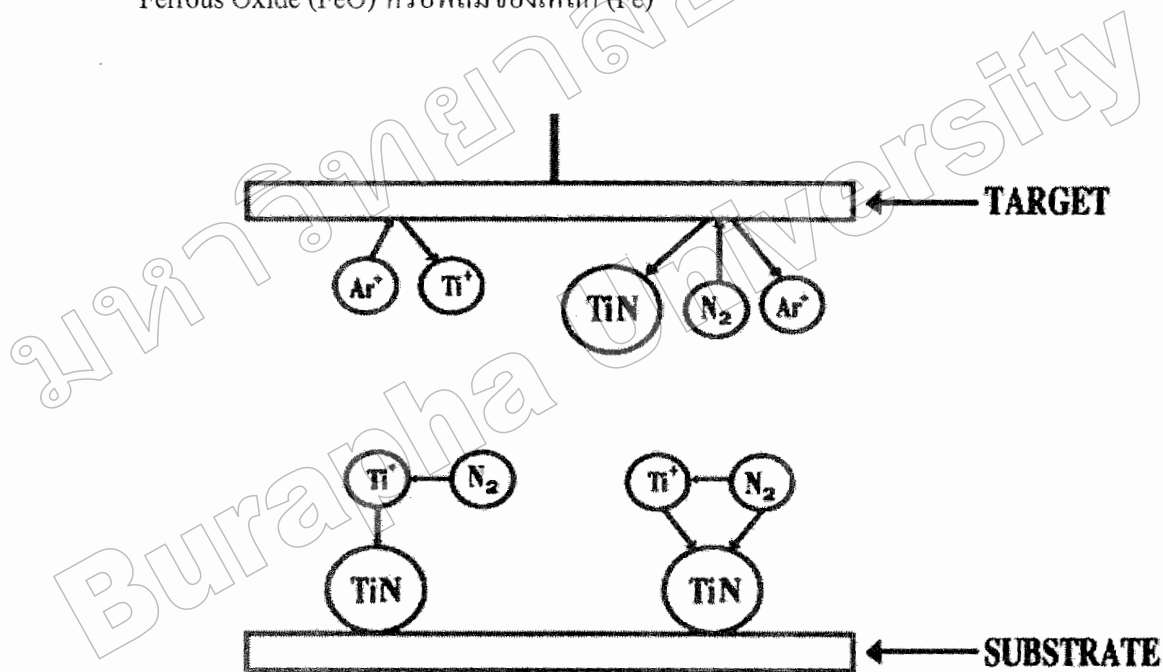
การเคลื่อนฟิล์มบางด้วยวิธีรีแอคตีฟสปีดเตอร์

สำหรับกระบวนการรีแอคตีฟสปัตเตอริ่ง (Reactive Sputtering) มติ ห่อประทุม (2548) ได้อธิบายไว้ว่า เป็นกระบวนการสปัตเตอริ่งที่มีการป้อนแก๊สไวป์กิริยา (Reactive Gas) เข้าสู่ระบบหรือห้องเคลื่อน เพื่อให้เกิดสารประกอบของฟิล์มตกลงบนชิ้นงานหรือวัสดุรองรับ ทั้งนี้ การสปัตเตอร์ที่มีเป้าสารเคลื่อนเป็นโลหะบริสุทธิ์ แล้วป้อนแก๊สไวป์กิริยา จะทำให้เกิดสารประกอบต่าง ๆ ของโลหะได้ เช่น การป้อนแก๊สไนโตรเจนอาจทำให้เกิดโลหะในไตรดี ถ้าป้อนแก๊สอะเซทิลีน (C_2H_2) หรือ มีเทน (CH_4) อาจเกิดเป็นสารประกอบของโลหะคาร์บอนได้ เป็นต้น โดยปกติความดันแก๊สไวป์กิริยาที่ใช้ก่อนข้างต่างๆ ไม่เพียงพอต่อการเกิดปักษิกิริยาในสภาวะปกติ อย่างไรก็ตามคาดกันว่าอิเล็กตรอนในพลาสม่าที่มีส่วนในการกระตุ้นหรือไอօนในซึ่งแก๊สไวป์กิริยาให้มีความสามารถในการทำปฏิกิริยากับโลหะได้สูงกว่าสภาวะปกติ โดยแก๊สไวป์กิริยา เช่น แก๊สไนโตรเจน (N_2) อาจรวมตัวกันกับโลหะ เช่น ไทเทเนียม (Ti) และเกิดเป็นสารประกอบไทเทเนียม ในไตรดี (TiN) ตามภาพที่ 2-16 ได้เป็น 3 ลักษณะ ดังนี้

1. การเกิดสารประกอนในไตรค์ที่ผิวน้ำเป้าสารเคลื่อน กรณีแก๊สไวปูริกิริยา เช่น
แก๊สในไตรเจนทำปฏิกิริยากับอะตอน ไทเทเนียมที่ผิวน้ำเป้าของสารเคลื่อนกลยุบเป็นสารประกอน
ไทเทเนียมในไตรค์แล้วถูกสปิตเตอร์ให้หลุดออกแล้วตกเคลื่อนลงบนแผ่นวัสดุรองรับ ปฏิกิริยานี้
เกิดขึ้นสูงเมื่อความดันย่อยของแก๊สไวปูริกิริยาในระบบมีค่าสูง พบว่า ในการเคลื่อน ไทเทเนียม
ในไตรค์บนพื้นฟิล์มเคลื่อนที่ เป้าสารเคลื่อน ส่วนที่มีอัตราการสปิตเตอร์ต่ำจะปรากฏฟิล์มของสีทอง
ไทเทเนียมบริเวณนั้น ปรากฏการณ์นี้เรียกว่า Target Poisoning มีผลทำให้อัตราการเคลื่อนลดลง

2. การเกิดสารประกอบในไตรค์ที่ผิวน้ำเป้าสารเคลื่อน กรณีนี้แก๊สไวปูริกิริยา เช่น แก๊สในไตรเจนรวมตัวกับอะตอมไทเทเนียมที่ถูกสักปัตเตอร์ออกจากหน้าเป้าสารเคลื่อน ในที่ว่างระหว่างหน้าเป้าสารเคลื่อนและวัสดุรองรับ ส่วนใหญ่อยู่ระหว่างทางวิ่งสู่แผ่นวัสดุรองรับแล้วทุกเคลื่อนบนแผ่นวัสดุรองรับ กระบวนการนี้ในทางทฤษฎีถือว่าเกิดได้น้อยมากเนื่องจากสภาพของ การทำปฏิกิริยาไม่เหมาะสมตามกฎอนุรักษ์พลังงานและโนเมนตัม แต่เป็นไปได้ที่การรวมตัวของสารประกอบจะเกิดในช่วงนี้

3. การเกิดสารประกอบในไตรดีผิวน้ำวัสดุองรับ กรณีนี้แก๊สไวปูบริยา เช่น แก๊สในโตรเจนรวมตัวกับไทเทเนียมบนผิวน้ำวัสดุองรับหรือชิ้นงาน การทำรีแอคตีฟสปัตเตอริง โดยทั่วไปความดันแก๊สไวปูบริยาที่เหมาะสมต่อการเกิดสารประกอบที่ต้องการมีค่าต่ำกว่าช่วงที่เกิดขบวนการโกล์ดิษาร์จ ในกระบวนการจึงใช้แก๊สไวปูบริยา กับแก๊สเนื้อทามาให้รักษาสภาพ โกล์ดิษาร์จไว้ได้ ในเวลาเดียวกันช่วยให้อัตราเคลื่อนสูงขึ้น ในการทำรีแอคตีฟสปัตเตอริง ยังมี สิ่งที่ต้องคำนึงถึงคือ ความดันย่อยของแก๊สไวปูบริยา ต้องมีค่าพอเหมาะสมกับการเกิดฟิล์ม สารประกอบที่ต้องการ เช่น การเคลื่อนสารประกอบ Ferroferric Oxide (Fe_3O_4) ความดันแก๊สออกซิเจนที่ใช้ในรีแอคตีฟสปัตเตอริง ถูกจำกัดในช่วงความดันแกบมาก ถ้าความดันย่อยของแก๊สออกซิเจนมากไปจะเกิดสารประกอบของ Ferric Oxide (Fe_2O_3) ถ้าน้อยเกินไปจะเกิดสารประกอบ Ferrous Oxide (FeO) หรือฟิล์มของเหล็ก (Fe)



ภาพที่ 2-16 การเกิดปูบริยารวมตัวกันเป็นสารประกอบระหว่างแก๊สไวปูบริยา กับอะตอม เป้าสารเคลื่อนในบริเวณต่างๆ (มติ ห่อประทุม, 2548)

การหารักษาพะเพาะของฟิล์มนบาง

สำหรับลักษณะเฉพาะของฟิล์มนบางที่เคลือบได้ในงานวิจัยนี้ศึกษาด้วยเทคนิคต่าง ๆ ดังนี้

1. การศึกษาโครงสร้างผลึกด้วยเครื่อง X-ray diffractrometer (XRD)

ลักษณะเฉพาะสำคัญอย่างหนึ่งของฟิล์มนบางคือการศึกษาโครงสร้างผลึก ซึ่งวิเคราะห์ได้ด้วยเทคนิควิเคราะห์การเลี้ยวเบนรังสีเอกซ์ (Diffraction Analysis) กมล เอี่ยมพนากิจ (2547) ระบุว่า วิธีการนี้ การวิเคราะห์การเลี้ยวเบนรังสีเอกซ์ เป็นเทคนิคสำหรับการแยกแยะ โครงสร้างของสารเคลือบ โดยอาศัยการเปรียบเทียบรูปแบบการเลี้ยวเบนกับมาตรฐาน JCPDS (Joint Committee on Powder Diffraction Standard) ดังนั้นเทคนิค XRD เป็นเทคนิคสำหรับวัดค่าความเข้มของรังสีเอกซ์ที่สะท้อนจากผลึก ใช้หลักการของการเลี้ยวเบนของคลื่น โดยพบว่ารังสีเอกซ์เลี้ยวเบนได เมื่อให้ตกลงบนผลึก ซึ่ง Bragg ได้เสนอแนวคิดว่าเราสามารถมองผลึกประกอบด้วยชั้น (Layer) หรือระนาบ (Plane) ของอะตอมซึ่งสามารถหักลิ่นที่ตกลงบน โดยมุ่งที่ตกลงบนเท่ากันมุ่ง สะท้อน ทั้งนี้คลื่นที่สะท้อนออกไปจากระนาบต่าง ๆ ดังกล่าวจะมีความเข้มสูง สำหรับรังสีเอกซ์ 1 และ 2 ตกลงบนห้ามุ่ง ถ้าบรรนำของผลึก A และ B สามารถไฟฟ้าของรังสีเอกซ์จะก่อให้เกิดแรงคูคูณปักรหบันอิเล็กตรอนที่ P กับ Q ให้สั่นด้วยความถี่เดียวกับรังสีเอกซ์ที่ตกลงบน และอิเล็กตรอนนั้นแผ่คลื่นแม่เหล็กไฟฟ้าเป็นรังสีเอกซ์ออกไปทุกทิศทางแต่ในทิศทาง 1' และ 2' ซึ่งเมื่อรังสีเอกซ์สะท้อนออกจากระนาบของผลึกจะไปแทรกสอดแบบเสริมกัน (In Phase) แม้ว่าแบบจำลองที่กล่าวมาจะไม่ถูกต้องในทางภาคปฏิ เนื่องจากแท้จริงแล้วรูปแบบของอะตอมไม่ได้สะท้อนคลื่นเดียวกันนี้ใช้ได้ในทางเรขาคณิต พิจารณา

$$\delta = n\lambda \quad (2-4)$$

เมื่อ δ คือ ความแตกต่างของระยะที่คลื่นเดินทาง

λ คือ ความยาวคลื่น

n คือ จำนวนเต็มใด ๆ

จากภาพที่ 2-17

$$\delta = SQ + QT = 2SQ \quad (2-5)$$

จากรูปตรีโกณมิติพื้นฐาน

$$\delta = 2PQ \sin \theta \quad (2-6)$$

โดย PQ คือ ระยะห่างระหว่างระนาบ d_{hkl}

$$\delta = 2d \sin \theta \quad (2-7)$$

จากสมการ (2-4) เท่ากับ (2-7) จะได้

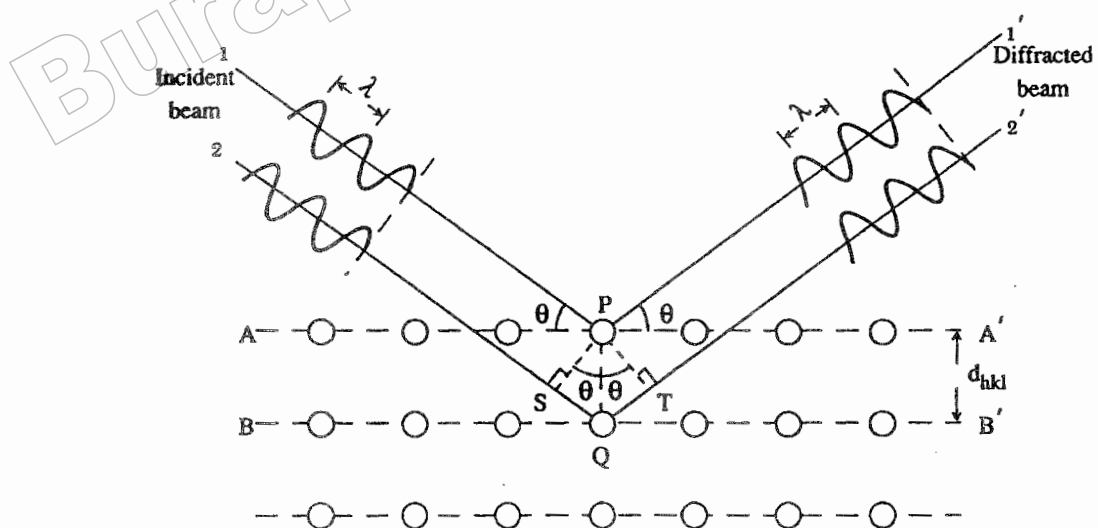
$$2d_{hkl} \sin \theta = n\lambda \quad (2-8)$$

เรียกสมการที่ (2-8) นี้ว่า สมการการเลี้ยวเบนรังสีเอกซ์จากผิดก (Bragg's law)

โดยที่ λ เป็นความยาวคลื่น n เป็นลำดับของการสะท้อน d_{hkl} เป็นระยะห่างระหว่างระนาบ $(h k l)$

และ θ เป็นมุมตัดกันและมุมสะท้อนเมื่อวัดจากแนวระนาบที่กำลังพิจารณา

ในภาพที่ 2-17 เป็นแบบจำลองสำหรับการพิสูจน์กฎของเบร็อก อะตอนเรียงตัวเป็นรากน้ำ โดยมีระยะห่างระหว่างอะตอนใกล้เคียงกับความยาวคลื่นของรังสีเอกซ์ ($\sim 10^{-10} \text{ m}$) จะทำหน้าที่เป็นเสมือนเกรตติงเก็บเวนแต่จะเป็นเกรตติงเลี้ยวเบนแบบ 3 มิติ



ภาพที่ 2-17 แบบจำลองการเรียงตัวของอะตอน (กมล เอี่ยมพนาภิ, 2547)

สัญญาณที่ตรวจจับได้จะแสดงออกมาในรูปแบบของการเลี้ยวเบนรังสี (Diffraction Pattern) ความเข้มของสัญญาณขึ้นอยู่กับหมายเลขปัจจัยด้วยกัน เช่น โครงสร้างของวัสดุ ปริมาตรของวัสดุที่แผ่รังสี (Volume of Irradiated Material) รูปทรงของการหักเห (Diffraction Geometry) และการวางชิ้นงาน (Sample Alignments) เป็นต้น

ตำแหน่งของพีคที่มีค่ามากที่สุดสามารถอภิถึงขนาดและรูปร่างของหน่วยเซลล์ได้ในขณะที่ความกว้างให้หาค่าขนาด การจัดเรียงตัว (Orientation) และความเครียด (Strain) ภายในเกรนของวัสดุหลายผลึก กรณีของการศึกษาขนาดของผลึกจากรายงานการวิจัยของ Kim, Hahn, Oh, and Kim (2002) ได้ทำการศึกษาขนาดของผลึกไทเทเนียม โดยอุกiza ที่อบพิล์มน้ำด้วยอุณหภูมิต่างๆ โดยอาศัย Seherrer equation ดังสมการที่ 2-9

$$L = \frac{k\lambda}{\beta \cos\theta} \quad (2-9)$$

เมื่อ L คือ ขนาดของผลึกพิล์มน้ำด้วยอุกiza

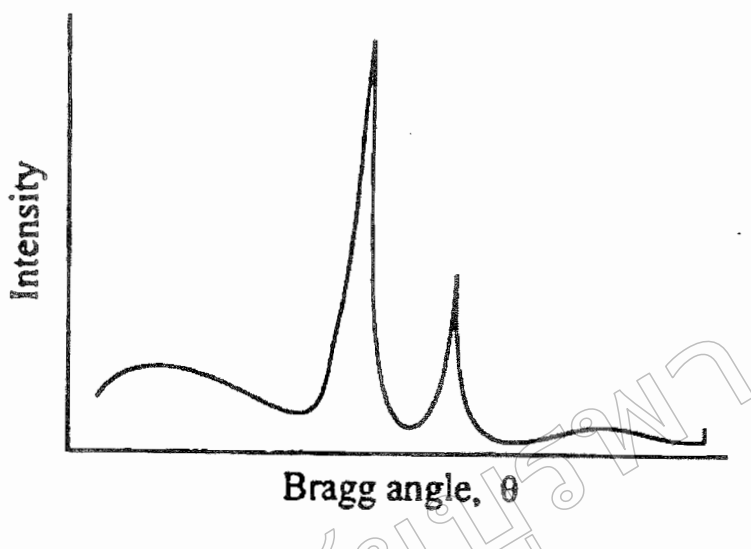
k คือ ค่าคงที่เท่ากับ 0.94

λ คือ ความยาวคลื่นของรังสีเอกซ์ ($CuK_{\alpha} = 1.5406$)

β คือ ความกว้างครึ่งหนึ่งของพีคที่มีค่าความเข้มสูงสุด

θ คือ ครึ่งหนึ่งของมุมครองจุดศูนย์กลางพีค

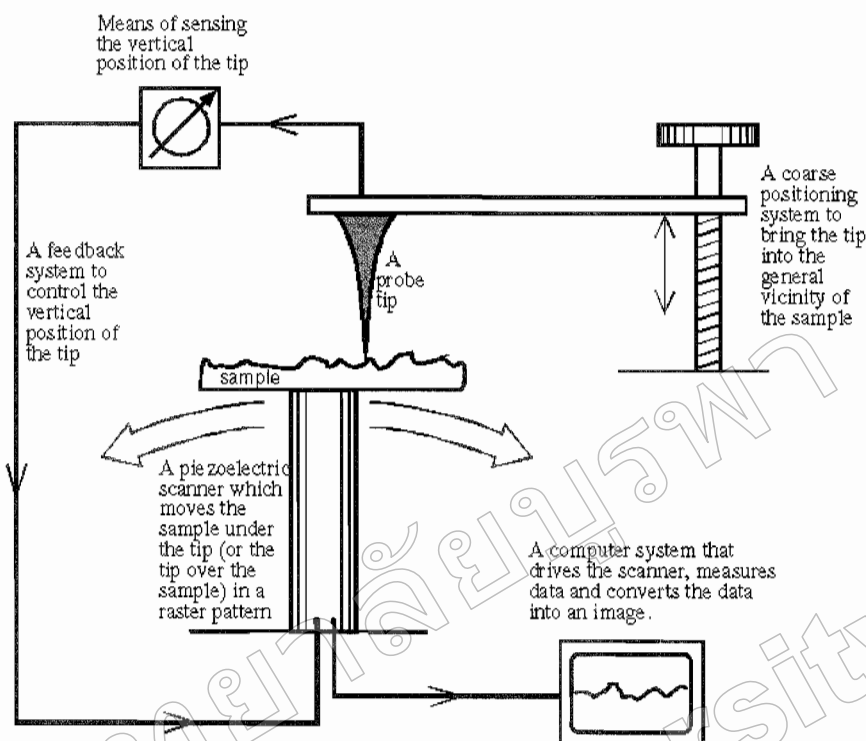
บางครั้งตำแหน่งของรูปแบบการเลี้ยวเบนที่วัดได้อาจจะเดื่อนไปด้วยค่ามุมที่สูงขึ้น เนื่องจากผลของการความคืบคงค้าง (Residual Stress) ในผิวสารเคลือบนั้นเอง ส่วนความเข้มของสัญญาณที่ได้อาจไม่เป็นไปตามค่ามาตรฐาน JCPDS เพราะเกิดการจัดเรียงตัวในทิศทางที่ชอบ (Preferred Orientation) ของอะตอมในพิล์มนอกจากนี้เทคนิคการเลี้ยวเบนรังสีเอกซ์ยังสามารถให้ข้อมูลที่บันอกถึงส่วนผสมทางเคมีของเฟส (Phase Composition) และค่าพารามิเตอร์ของแลททิซ (Lattice Parameter)



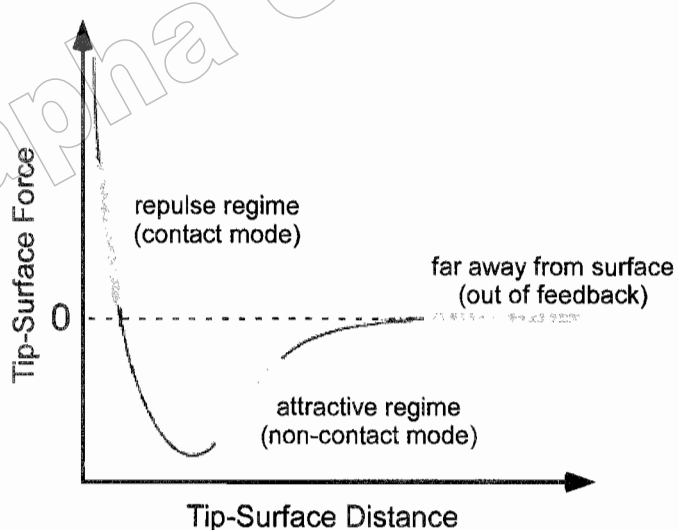
ภาพที่ 2-18 ความเข้มของพิคที่แสดงถึงรูปแบบผลึกของวัสดุในตัวแหน่งที่มีการสะท้อนรังสี
(มติ หอประทุม, 2548)

2. การศึกษาลักษณะพื้นผิวด้วยเครื่อง Atomic Force Microscopy (AFM)

ลักษณะเฉพาะสำคัญอีกอย่างหนึ่งของฟิล์มบางคือการศึกษาลักษณะพื้นผิว และความหนา เทคนิกที่นิยมใช้ในการศึกษาความหนาและลักษณะพื้นผิวของฟิล์มบางในระดับนาโน คือ Atomic Force Microscopy (AFM) ซึ่ง จตุพร วุฒิกนกกาญจน์ (2542) ได้อธิบายหลักการทำงานของ เครื่อง AFM ไว้ว่า เทคนิก Atomic Force Microscopy เป็นการสร้างภาพของผิววัสดุจากแรงกระทำระหว่างผิววัสดุกับตัวตรวจวัดที่ทำการเข้มข้นด้วย (Probe Tip) และเป็นเทคนิกหนึ่งในกลุ่มของ Scanning Probe Microscopy (SPM) ซึ่งเป็นกลุ่มเทคนิกที่สามารถใช้ในการศึกษาสภาพพื้นผิวของวัสดุประเภทต่าง ๆ ได้ หลักการพื้นฐานคือ การใช้เข็มตรวจวัดขนาดเล็กที่ทำการชิลก่อน ในไตรด์ (Silicon Nitride, Si_3N_4) เคลื่อนที่กราด (Scan) ไปทั่วบริเวณต่าง ๆ ของผิววัสดุ โดยมีตัวเพียโซอิเล็กทริกสแกนเนอร์ (Piezoelectric Scanner) เป็นตัวควบคุม สภาพผิวที่แตกต่างกันไปจะก่อให้เกิดการเปลี่ยนแปลงกับเข็มตรวจวัดแตกต่างกันไป โดยตัวค่านี้มีเข็มเกะติดอยู่จะมีการโค้งงอ (Bending) ปริมาณการโค้งงอนี้สามารถตรวจวัดได้โดยใช้โฟโตเดกเตอร์ (Photo Detector) ดังภาพที่ 2-19 ภาพที่ได้จากเทคนิกนี้จะสอดคล้องตามสภาพพื้นผิวในแต่ละบริเวณที่ตรวจสอบ ในเทคนิก AFM นี้ สิ่งที่ทำให้akanที่มีเข็มเกะอยู่เกิดการโค้งงอขึ้นก็คือ แรงกระทำระหว่างอะตอมซึ่งอาจจะเป็นแรงดึงดูดหรือแรงผลักก์ได้ขึ้นอยู่กับระยะห่างระหว่างเข็มปลายแหลมกับพื้นผิว ดังแสดงในภาพที่ 2-20



ภาพที่ 2-19 องค์ประกอบหลักของเครื่องมือ Scanning Probe Microscope
(อธิศร บูรณะวงศ์, 2551)



ภาพที่ 2-20 ลักษณะของแรงกระทำระหว่างอะตอมที่เกิดขึ้นในระยะห่างระหว่างวัตถุต่าง ๆ
(อธิศร บูรณะวงศ์, 2551)

การเก็บข้อมูลด้วยเทคนิค AFM มี 4 ลักษณะ (Mode) ที่สำคัญดังนี้คือ

1. Contact mode เป็นการศึกษาสภาพผิวชั้นงานโดยการขับให้เข้มไถ (Slide) ไปบนผิวงานซึ่งทำให้มีแรงผลักเดินขึ้น เนื่องจากเข้มกับผิวงานอยู่ใกล้กันมาก แรงผลักนี้จะเปลี่ยนแปลงไปตามสภาพผิว ซึ่งทำให้มีการโกร่งงอ (Deflection) ของคานยื่น (Cantilever) ที่มีเข้มขึ้น แสดงถึงความต้านทานของผิวงาน

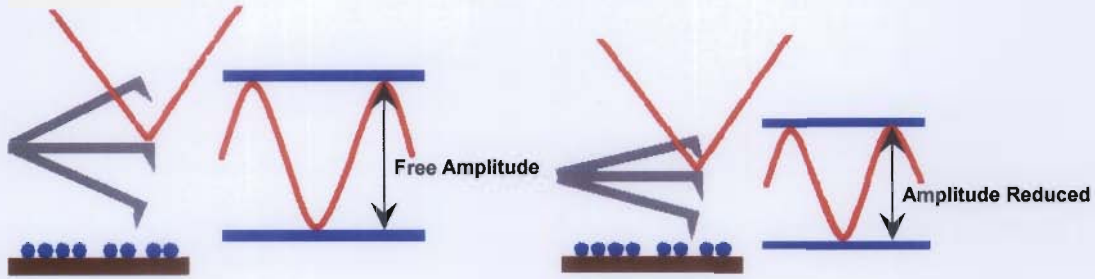
อย่างไรก็ตาม เทคนิคแบบ Contact mode นี้มีข้อเสียคือ การลากให้เข้มตรวจวัดเคลื่อนที่ไถลงบนผิวงานต่าง ๆ บนผิวงาน อาจทำให้พื้นผิวสัตุ์ที่กำลังศึกษาต่างไปจากสภาพเดิมที่แท้จริง หรืออาจเกิดความเสียหายขึ้นแก่ผิวงานได้ เช่น ภายใต้สภาวะบรรยายกาศปกติซึ่งมีอากาศและความชื้นในอากาศ อาจเกิดหยดน้ำหรือสิ่งสกปรกบนผิวงาน ซึ่งเมื่อเข้มวัดเคลื่อนที่ไปสัมผัสกับผิวที่มีชื้นบาง ๆ ของหยดน้ำและสิ่งสกปรกดังกล่าว ทำให้มีแรงดึงไฟฟ้าสถิตและแรงดึงผิวดึงให้ตัวคานที่มีเข้มขึ้น ทำให้แรงระหว่างเข้มกับผิวงานที่เกิดขึ้น โดยรวมเปลี่ยนแปลงไปนอกจานนี้ ยังอาจทำให้ผิวงานถูกทำลาย เช่น เกิดการฉีกขาดจากการลากเข้มไปบนผิวงาน

2. Non-contact mode เพื่อหลีกเลี่ยงปัญหาข้างต้น จึงได้มีการพัฒนาเทคนิคแบบ

Non-contact mode ขึ้นมา โดยในที่นี้ ตัวเข้มคลายเหล้มจะถูกยกขึ้นมาให้มีระยะห่างเหนือผิวงานสูงมากขึ้น คือประมาณ 10 - 100 Å จึงไม่มีปัญหาระบบการทำลายโครงสร้างผิวงานโดยในการนี้ แรงกระทำระหว่างตัวคานที่มีเข้มป้ายเหล้มยังคงเดินต่อไป แต่ผิวงานจะเป็นลักษณะแรงดึงดูด ซึ่งจะเปลี่ยนแปลงไปตามรูปทรงของสภาพผิวงาน เช่นเดียวกัน

วิธีนี้มีข้อจำกัดเกี่ยวกับความละเอียดของภาพ ได้น้อยกว่า แรงดึงดูดประเภทแวนเดอร์วัลส์ (Van Der Waals) ที่เกิดขึ้นในกรณีนี้ เป็นแรงที่อ่อนกว่า เมื่อเทียบกับแรงผลักที่เกิดขึ้นในกรณีของ Contact mode ดังนั้นการตรวจสอบอาจไว (Sensitive) ต่อสิ่งแปรปรวนที่อยู่บนผิวงาน

3. Tapping mode เป็นเทคนิคที่รวมเอาลักษณะของการวัดทั้งในแบบของ Contact mode และ Non-contact mode เข้าด้วยกัน กล่าวคือ ยังคงให้มีการสัมผัสกันระหว่างเข้มกับผิวงานในระยะที่ใกล้กันมาก เหมือนกับกรณีของ Contact mode เพื่อให้เกิดภาพที่ชัดเจน ในขณะเดียวกัน ก็ยังมีการสั่นหรือขับเข็มป้ายเหล้มให้เคลื่อนที่ขึ้นลงไปพร้อม ๆ กับการเคลื่อนที่สแกนไปยังบริเวณต่าง ๆ บนผิวงาน ดังนั้นจึงเป็นการหลีกเลี่ยงปัญหาการลากไถเข้มป้ายเหล้ม ซึ่งทำให้เกิดการทำลายสภาพของผิวงานได้ เมื่อใน Contact mode



ภาพที่ 2-21 ลักษณะการสั่นของคานที่มีเข็มติด (อุดิศร บูรณวงศ์, 2551)

ภาพที่ 2-21 แสดงการสั่นของคานในสภาพอิสระหรือตอนเริ่มต้นที่ยังไม่เกิดการสัมผัสและขับเคลื่อนที่ไปบนผิวงาน แอมพลิจูดจะยังสูงอยู่เมื่อเทียบกับแอมพลิจูดที่เกิดจากการสั่นของคานเมื่อมีการแตะสัมผัส (Tapping) บนผิวงาน เนื่องจาก การสัมผัสถันนี้ มีการสูญเสียพลังงานของการสั่น ทำให้แอมพลิจูดของการสั่น (Oscillation Amplitude) ลดลง ซึ่งค่าที่ลดลงนี้ เป็นตัววัดและบอกถึงลักษณะของสภาพพื้นผิวที่มีความสูงต่ำแตกต่างกัน ไป แอมพลิจูดของการสั่นที่เปลี่ยนแปลงไปถูกวัดโดยแอมพลิจูดเดเตอร์ (Amplitude Detector) และส่งผลเข้าไปยังตัวควบคุม ซึ่งทำการวัดสัญญาณพร้อมทั้งปรับระยะระหว่างเข็มกับผิวงาน เพื่อรักษาให้ค่าแอมพลิจูดของการสั่นให้คงที่ ต่อไป กว่าจะมีการเปลี่ยนแปลงของแอมพลิจูดของการสั่นตามสภาพพื้นผิวในบริเวณถัดไป

4. Force modulation mode เหนาระสำหรับพื้นผิวของวัสดุที่มีองค์ประกอบหลายเฟส เทคนิกนี้ เป็นการวัดและสร้างภาพของพื้นผิวชิ้นงานที่มีความแตกต่างของความแข็งแกร่ง (Stiffness) ในแต่ละเฟส กรณีที่ตัวเข็มจะสแกนในลักษณะสั่นตั้งๆ กับผิววัสดุด้วยแอมพลิจูดเล็กน้อย แต่มีความเร็วในการสั่นที่สูงกว่าการเคลื่อนที่สแกนของเข็ม เมื่อตัวเข็มแตะสัมผัสถันกับผิววัสดุจะเกิดแรงต้านจากผิวของวัสดุจากการสั่น ทำให้ตัวคานของ ล้ำหายใจ ให้แรงคงที่ พื้นผิวบริเวณที่แข็งกว่าจะทำให้เกิดการต้านการสั่นในแนวตั้งของตัวคานมาก จึงทำให้ตัวคานของมากกว่า ดังนั้นการเปลี่ยนแปลงของแอมพลิจูดจากการ ก่อร่องของตัวคาน จึงนำมาใช้เปรียบเทียบความแข็งที่บริเวณต่างๆ ของผิวงาน

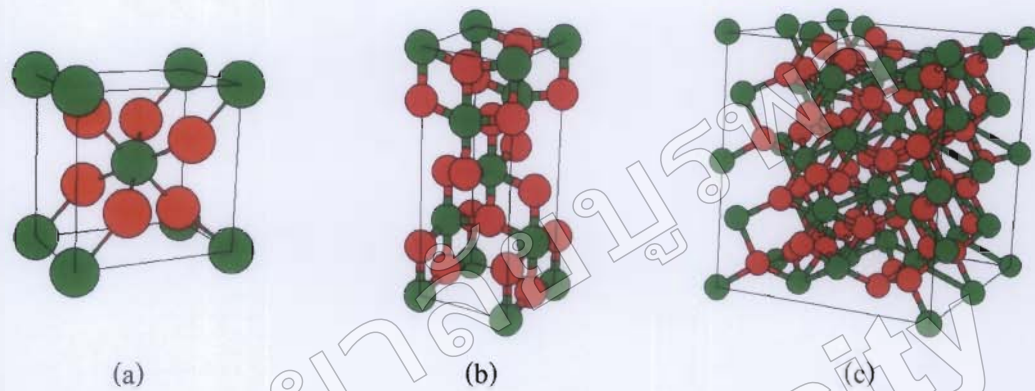
หลักการของวิธี Tapping mode กับ Force modulation mode คล้ายกันที่มีการสั่นของเข็มในแนวตั้งพร้อมกับมีการสแกนไปบนผิวชิ้นงาน อย่างไรก็ตามทั้ง 2 เทคนิก มีความแตกต่างกัน คือ ในการนี้ Force modulation mode จะสั่นด้วยความเร็วสูงกว่า (สูงกว่าความเร็วในการสแกน) และ การวัดแอมพลิจูดที่เกิดจากการบิดของคาน เป็นการวัดเนื่องจากผลของแรงต้านการสั่น เมื่อมีการสัมผัสถันกับผิวงานในขณะที่ Tapping Mode จะเป็นการวัดการเปลี่ยนแปลงแอมพลิจูดของการสั่นของคานที่เปลี่ยนแปลงไป (ลดลง) เนื่องจากมีการสูญเสียพลังงานไปเมื่อมีการสัมผัสถันกับผิวงานที่มีระดับความสูงต่ำแตกต่างกัน

ไทเทเนียมไดออกไซด์

โครงสร้างของไทเทเนียมไดออกไซด์เกิดจากอะตอมของไทเทเนียมจับกับอะตอมของออกซิเจน ซึ่งการจับกันมีอยู่ด้วยกันหลายลักษณะ เพราะไทเทเนียมมีประจุเป็น Ti^0 , Ti^{2+} , Ti^{3+} และ Ti^{4+} ส่วนออกซิเจนมีประจุเป็น O_2^- ทำให้มีโอกาสรวมกันเป็น TiO ที่มีโครงสร้างเป็นเฟสเซ็นเตอร์คิวบิก (Face Center Cubic, FCC) (TiO_x ($0.9 \leq x \leq 1.5$)) ซึ่งเป็นฟิล์มที่มีความแข็งมาก Ti_2O_3 มีโครงสร้างเป็นไตรgonอล (Trigonal) และ TiO_2 มีโครงสร้างเป็นเตตระgonอล (Tetragonal) ซึ่งเป็นฟิล์มที่มีดัชนีหักเหสูง เป็นต้น โครงสร้างเหล่านี้มีการจับตัวกันด้วยพันธะผลรวมของไอออนิก (Ionic) โคลเวเลนต์ (Covalent) และพันธะโลหะ (Metallic) ฟิล์มเหล่านี้มีลักษณะที่โปร่งแสง และจากการศึกษาสีของฟิล์มจะเปลี่ยนตามโครงสร้าง นั่นคือเปลี่ยนตามปริมาณออกซิเจนที่ให้โดยค่าอย่าง x เปลี่ยนจากสีเหลืองทอง (Golden Yellow) คือ TiO_{1+x} ($0 \leq x \leq 0.25$) ไปเป็นน้ำตาล (Brown) ไปเป็นสีน้ำเงินเข้ม (Dark Blue) และไปเป็นโปร่งใสไม่มีสี (Transparent) คือ TiO_{1+x} ($0.95 \leq x \leq 1$) (Bally, 1998)

Jin et al. (2003) ระบุข่าวว่าไทเทเนียมไดออกไซด์เป็นสารประกอบออกไซด์ชนิดหนึ่งที่ได้รับความสนใจจากกลุ่มวิจัยทั่วโลกในการศึกษาวิจัยและพัฒนาห้องจากเป็นสารประกอบออกไซด์ที่มีสมบัติที่น่าสนใจหลายประการ โดยเฉพาะอย่างยิ่งสมบัติทางแสง เช่น สมบัติการส่งผ่านแสง มีค่าดัชนีหักเหสูง มีเสถียรภาพทางเคมี จากสมบัติต่างๆ ที่โดดเด่นนี้ทำให้มีการนำไทเทเนียมไดออกไซด์ไปประยุกต์ใช้อย่างกว้างขวางทั้งในงานด้านหัตถศิลป์และการเคลือบ เพื่อป้องกันร่วนทั้งงานทางด้านเส้นใยแก้วนำแสง ตลอดรวมถึงการใช้เคลือบกระจกที่มีสมบัติเป็นโพโตกะตะไกติกด้วย ด้วย Zeman and Takabayashi (2002) รายงานว่า โดยทั่วไปแล้วไทเทเนียมไดออกไซด์จะมีอยู่ 3 เฟส ได้แก่ เฟสรูไทล์ (Rutile) เฟสอนาคต (Anatase) และเฟสนรูไกท์ (Brookite) เฟสอนาคตและเฟสรูไทล์มีโครงสร้างผลึก (Crystal Structure) เป็นแบบเตตระgonอล (Tetragonal) ส่วนเฟสนรูไกท์มีโครงสร้างเป็นแบบออร์โตรอมบิก (Orthorhombic) เฟสของฟิล์มไทเทเนียมไดออกไซด์ต่างชนิดกันจะมีประโยชน์การใช้งานที่แตกต่างกัน เช่น ฟิล์มไทเทเนียมไดออกไซด์เฟสอนาคต จะมีสมบัติตัวเร่งปฏิกิริยาของแสงที่สมบูรณ์ สามารถนำไปใช้ประโยชน์ในด้านเกี่ยวกับการป้องกันสิ่งแวดล้อม เช่น กระจุกที่มีสมบัติโพโตกะตะลิส ส่วนฟิล์มไทเทเนียมไดออกไซด์ในเฟสรูไทล์ จะมีความสามารถในการทำอุปกรณ์ที่ใช้ในร่างกาย เช่น ลิ้นหัวใจเทียม เป็นต้น

การเตรียมฟิล์มบางไทเทเนียมไดออกไซด์ ต้องทำการเปลี่ยนค่าดั้วประกายค่า แล้วนำฟิล์มบางที่ได้ไปวิเคราะห์ด้วยเครื่อง XRD เพื่อศึกษารูปแบบการเลี้ยวเบนของรังสีเอกซ์ และเปรียบเทียบตำแหน่งของพีกที่เกิดขึ้นกับแฟ้มข้อมูลการเลี้ยวเบนรังสีเอกซ์ของผู้รักษา (Joint Committee on Powder Diffraction Standard, JCPDS) ของไทเทเนียมไดออกไซด์



ภาพที่ 2-22 เฟสของไทเทเนียมไดออกไซด์ (อดิศร บูรณวงศ์, 2551)

- (a) เฟสอัตตานา
- (b) เฟสโรนาเทส
- (c) เฟสบрукไกท์

ตารางที่ 2-2 ข้อมูลการเดี่ยวบนรังสีเอกซ์ของผลึกไทเทเนียมไกออกไซด์เฟสонаเทส

Pattern: 71-1169		Radiation = 1.540600				
TiO ₂ (Anatas/ Titanium Oxide)		d (Å)	Intensity (%)	h	K	l
Lattice: Tetragonal		3.53718	100	1	0	1
S.G.:P42/ mnm (136)	Mol. Weight = 79.90	2.45087	6	1	0	3
a = 3.80400	Volume [CD] = 139.12	2.40350	18	0	0	4
c = 9.61400	Dx = 3.815	2.34733	7	1	1	2
	Dm = 3.879	1.90200	22	2	0	0
	I/Icor = 4.80	1.71604	13	1	0	5
		1.67518	13	2	1	1
ICSD COLLECTION CODE: 009855		1.50261	2	2	1	3
REMARKS FROM ICSD: REM TEM 1073.		1.49149	9	2	0	4
TEST FROM ICSD: Calc. density usual but tolerable.		1.37659	4	1	1	6
TEMPERATURE FACTOR: ITF		1.34492	4	2	2	0
SAMPLE SOURCE OR LOCALITY: Specimen from Binnatal, Wallis, Switzerland.		1.29181	<1	1	0	7
		1.27411	6	2	1	5
		1.25711	2	3	0	1
		1.20175	<1	0	0	8
		1.17906	<1	3	0	3
		1.17367	3	2	2	4

*Calculated from ICSD using POWD-12++, (1997)

*Kristallogr, Kristallgeom, Kristallphys, and Kristallchem (1972)

ตารางที่ 2-3 ข้อมูลการเดียวabenรังสีเอกซ์ของผลึกไทเทเนียมโดยอกไซด์เฟสทรูไพล์

Pattern: 73-1765		Radiation = 1.540600				
TiO ₂ (Rutile/ Titanium Oxide)		d (Å)	Intensity (%)	h	K	l
Lattice: Tetragonal		3.24491	100	1	1	0
S.G.:P42/ mnm (136)	Mol. Weight = 79.90	2.48387	46	1	0	1
a = 4.58900	Volume [CD] = 62.21	2.29450	6	2	0	0
c = 2.95400	Dx = 4.266	2.18442	17	1	1	1
		2.05226	5	2	1	0
	I/I _{cor} = 3.45	1.68543	45	2	1	1
		1.62246	14	2	2	0
ICSD COLLECTION CODE: 024277		1.47700	6	0	0	2
TEST FROM ICSD: No R Value given.		1.45117	6	3	1	0
TEST FROM ICSD: At least one TF missing.		1.42208	<1	2	2	1
		1.35835	13	3	0	1
		1.34429	7	1	1	2
		1.30249	1	3	1	1
		1.27276	<1	3	2	0
		1.24194	1	2	0	2
		1.19881	1	2	1	2
		1.16888	3	3	2	1
		1.14725	2	4	0	0
		1.11300	1	4	1	0
		1.09221	4	2	2	2

*Calculated from ICSD using POWD-12++, (1997)

*Kristallogr, Kristallgeom, Kristallphys, and Kristallchem (1942)

งานวิจัยที่เกี่ยวข้อง

Chen et al. (2004) ศึกษาการเจือไนโตรเจนในฟิล์มบางไทเทเนียมโดยออกไซด์ที่เคลือบบนแผ่นอลูминีียมด้วย วิธีรีแอคติฟแมกนีตรอนสปีดเตอริง โดยให้อุณหภูมิแผ่นอลูминีียมเท่ากับ 300°C และนำฟิล์มที่ได้ไปวิเคราะห์โครงสร้างผลึกด้วยเทคนิค XRD วิเคราะห์ลักษณะพื้นผิวโดยใช้เทคนิค AFM และทดสอบสมบัติไฟฟ้ากระแสไฟฟ้าโดยพิจารณาจากเปลอร์เซ็นต์การลดลงของ benzamide จากการศึกษาพบว่าฟิล์มบางมีโครงสร้างผสมของแบบอนาเทสและรูไท์ซึ่งเปลอร์เซ็นต์ของโครงสร้างผลึกแบบอนาเทสมากกว่า และเมื่อเพิ่มเปลอร์เซ็นต์ของไนโตรเจนทำให้เปลอร์เซ็นต์ของโครงสร้างผลึกแบบอนาเทสลดลงและเพิ่มขึ้น เกรนของฟิล์มบางมีขนาดใหญ่ขึ้น และฟิล์มบางแสดงสมบัติไฟฟ้ากระแสไฟฟ้าโดยติดต่อได้ดีขึ้น โดยที่เปลอร์เซ็นต์ของไนโตรเจนเท่ากับ 80% ฟิล์มบางแสดงสมบัติไฟฟ้ากระแสไฟฟ้าโดยติดต่อได้ดีที่สุด

Vaz et al. (2004) ศึกษาการเตรียมฟิล์มไทเทเนียมออกซิไนไตรด์ที่มีสี โดยวิธีอาโรเฟแมกนีตรอนสปีดเตอริง ภายใต้การเปลี่ยนแปลงของตัวแปรต่างๆ เช่น การให้สักกิ้งไนโตรและอัตราการไหลของแก๊สไวนิลคลอไรด์ผลการศึกษาพบว่าสีของฟิล์มเปลี่ยนจากสีทองสวยงาม (Shiny golden) เมื่อจากมีปริมาณออกซิเจนต่ำ (ลักษณะของฟิล์มไทเทเนียมในไนไตรด์) ถึงสีน้ำเงินเข้มเมื่อจากมีปริมาณออกซิเจนสูง องค์ประกอบของฟิล์มวิเคราะห์โดยเทคนิค Rutherford backscattering spectrometry (RBS) ผลของการเดี่ยวบนของรังสีออกซ์ (XRD) แสดงให้เห็นการเปลี่ยนโครงสร้างผลึกแบบ face-centred-cubic ระหว่าง (111) (ไทเทเนียมในไนไตรด์มีค่าคงที่แลดที่ชประมาณ 0.429 nm) และการกระจายของเฟสออกไซด์ (oxide phases) ผลการวัดความแข็งด้วยเทคนิค Nanoindentation พบว่าความแข็งของฟิล์มอยู่ระหว่าง 20 และ 40 GPa ซึ่งขึ้นอยู่กับองค์ประกอบและโครงสร้างอุลกาคของฟิล์ม ความเค้นอัดของฟิล์มนี้ค่าอยู่ระหว่าง -0.5 และ -0.6 GPa

Silveyra et al. (2005) ศึกษาการเจือไนโตรเจนด้วยวิธีทางความร้อน (Thermal Treatment) ในฟิล์มบางไทเทเนียมโดยออกไซด์ที่เคลือบด้วยกระบวนการไฮโดรโลไซด์ (Hydrolysis) โดยกำหนดให้อุณหภูมิในการ treatment เท่ากับ 600, 700 และ 800°C และนำฟิล์มที่ได้ไปวิเคราะห์โครงสร้างผลึกด้วย XRD วัดสมบัติทางแสงและทดสอบสมบัติไฟฟ้ากระแสไฟฟ้าโดยใช้เทคนิคของสารละลายฟีโนอล (phenol) ด้วยเครื่องสเปกต์โรมิเตอร์ (Spectrometer) จากการศึกษาพบว่าฟิล์มบางไทเทเนียมโดยออกไซด์ที่เคลือบไว้ มีโครงสร้างผลึกส่วนใหญ่เป็นแบบอนาเทส โดยมีโครงสร้างผลึกแบบอนาเทสและรูไท์ซึ่งเท่ากับ 30% และ 40% ตามลำดับ ทั้งนี้เมื่ออุณหภูมิ treatment เพิ่มขึ้น พบร่องรอยส่วนของโครงสร้างผลึกแบบอนาเทสระนาบ (101) ต่อโครงสร้างผลึกแบบรูไท์ระนาบ (110) มีค่าลดลง ขอบพื้นผิวของฟิล์มบางไทเทเนียมมีค่าลดลงโดยมีค่าอยู่ระหว่าง $2.88 - 3.01 \text{ eV}$ นอกจากนี้ที่อุณหภูมิตreatment เท่ากับ 600°C พบร่องรอยส่วนของฟิล์มบางแสดงสมบัติไฟฟ้ากระแสไฟฟ้าโดยติดต่อได้ดีที่สุด

Herman, Sicha, and Musil (2006) ศึกษาลักษณะเฉพาะและการเตรียมการเจือในไตรเจนในฟิล์มไทเทเนียมไดออกไซด์ ด้วยวิธีรีแอคตีฟแมกนีตรอนสปัตเตอร์ริง จากเป้าสารเคลือบไทเทเนียม (Ti) ในแก๊สผสมของ Ar / O₂ / N₂ โดยไม่ให้ความร้อนแก้วัสดุรองรับ การสปัตเตอร์ฟิล์มไทเทเนียมออกซิไนไตรด์ใช้ระบบ Dual magnetron แหล่งจ่ายไฟแบบ dc bipolar pulsed ปริมาณของไนโตรเจนในฟิล์มไทเทเนียมออกซิไนไตรด์มีอยู่ในช่วง 5% - 40 at.%. โครงสร้างของฟิล์มวิเคราะห์ด้วยเทคนิค X-ray diffraction (XRD) ช่องว่างแถบพลังงาน (Optical Band Gap) คำนวณจาก Tauc plot และการลดลงของมุมสัมผัส (α_{ir}) หลังการฉายแสงอัลตราไวโอเลตขึ้นอยู่กับปริมาณของไนโตรเจน (N at.%) ฟิล์มไทเทเนียมออกซิไนไตรด์มีเส้นผ่าศูนย์กลางเป็น 2.7 eV การเจือในไตรเจนในฟิล์มไทเทเนียมไดออกไซด์ในปริมาณที่น้อยกว่า 6 at.% ทำให้ฟิล์มที่ได้ใส่มีผลึกระดับนาโน (เฟสอนาคต+รูไทล์)

Wong, Chou, and Yang (2006) ศึกษาการเจือในไตรเจนในฟิล์มไทเทเนียมไดออกไซด์ ซึ่งเตรียมด้วยวิธีรีแอคตีฟแมกนีตรอนสปัตเตอร์ริงจากเป้าสารเคลือบไทเทเนียมในแก๊สผสมอาร์กอน, ออกซิเจนและไนโตรเจน ในไตรเจนที่ก่อตัวในฟิล์มตามสัดส่วนของแก๊สไนโตรเจน (F_{N₂}) ที่ 2 แบบคือในไตรเจนที่เข้าไปในเฟสอนาคตของไทเทเนียมและในไตรเจนที่เข้าไปในเฟสไทเทเนียมในไตรด์ (TiN) โดยสัดส่วนของแก๊สไนโตรเจนมีค่าจาก 0 ถึง 0.57 ฟิล์มที่เคลือบได้มีเฟสอนาคตเมื่อมีไนโตรเจนระหว่าง 1.0 ถึง 1.4 at.% และฟิล์มแสดงการเดือนไปทางสีแดง ไปยังความยาวคลื่นประมาณ 500 nm จากการคุณภาพแสงประมาณ 380 nm ของการไม่เจือไทเทเนียมไดออกไซด์ การเจือในไตรเจนในฟิล์มอย่างรวดเร็วในไตรเจน ไอออนที่มีพลังงานในพลาสม่าจะทำให้ฟิล์มที่ได้มีถูกบดความเป็นโพโตคัตติวิติกในช่วงตามองเห็น เมื่อสัดส่วนของแก๊สไนโตรเจนมากกว่า 0.75 ทำให้ปริมาณไนโตรเจนมี 20.8 at.% ซึ่งทำให้เกิดฟิล์มไทเทเนียมในไตรด์ที่มีลักษณะทึบและทำลายการเกิดโพโตคัตติวิติก

Chiu et al. (2007) ศึกษาผลของอัตราไหลแก๊สไนโตรเจนที่มีต่อโครงสร้างชุลภาครและสมบัติโพโตคัตติวิติกของฟิล์มบางไทเทเนียมไดออกไซด์ที่เคลือบด้วย วิธีรีแอคตีฟแมกนีตรอนสปัตเตอร์ริง อัตราไหลแก๊สไนโตรเจนอยู่ในช่วง 0 - 20 ml/min และให้ศักย์ไนโตรเจนที่ต่ำกว่า 50 V พบร่วมกับฟิล์มบางที่เคลือบได้มีโครงสร้างผลึกส่วนใหญ่เป็นแบบอนาคต และมีโครงสร้างผลึกแบบรูไทล์ปนอยู่เล็กน้อย และเมื่ออัตราไหลแก๊สไนโตรเจนเพิ่มขึ้นทำให้ฟิล์มบางมีความเป็นผลึกลดลง เกรนเมียนาดใหญ่ขึ้น ความหนาแน่นลดลง ความขรุขระมีค่าเพิ่มขึ้น และที่อัตราไหลแก๊สไนโตรเจนเท่ากับ 20 ml/min พบร่วมกับฟิล์มบางที่ต่ำกว่า 50 V ทำให้เกิดการเปลี่ยนแปลงของโครงสร้างชุลภาครและสมบัติโพโตคัตติวิติกของฟิล์ม

3.15 – 3.35 eV พลัมบานงแสดงสมบัติโฟโตคตติไลติกมากขึ้นและลดลง โดยที่อัตราไนโตรเกนส์ในไตรเจนเท่ากับ 5 ml/min พลัมบานงแสดงสมบัติโฟโตคตติไลติกได้ที่สุด

Luca et al. (2007) ศึกษาการผลของความดันของแก๊สในไตรเจนที่เข้าไปในพลัมบานง $TiO_{2-x}N_x$ ที่เคลือบด้วยวิธีอาร์เอฟแมกนีตรอนสปีดเตอริง จากนั้นนำพลัมบานงที่เคลือบได้ไปวิเคราะห์โครงสร้างผลึกด้วยเทคนิค XRD และทดสอบสมบัติไฮดร็อฟลิกด้วยการวัดมุมสัมผัสจากการศึกษาพบว่าพลัมบานงที่เคลือบได้มีโครงสร้างผลึกแบบผสมของอัลลอยและอนาเทสกับรูไก์ เมื่อความดันของแก๊สในไตรเจนเพิ่มขึ้น ส่วนใหญ่ weight percent ของโครงสร้างผลึกแบบอนาเทสเพิ่มขึ้นและลดลง โดยมีค่าอยู่ระหว่าง 0 – 50 % ขณะพลัมบานงมีค่าเพิ่มขึ้นและลดลงโดยมีค่าอยู่ระหว่าง 3.01 – 3.20 eV ทั้งนี้ยังพบว่าพลัมบานงที่ผ่านการเจือหั้งหยดจะส่งผ่านแสงในช่วงตามหัวเห็นแต่ส่งผ่านแสงในช่วงความยาวคลื่นอัลลอยไวโอเลตคล่องอย่างมาก และยังแสดงสภาพของน้ำแบบยิ่งวดเมื่อได้รับแสงอัตราไวโอเลตจนถึงแสงในช่วงตามหัวเห็นได้

Park and Heo (2007) ศึกษาการเตรียมพลัมบานงไทเทเนียมโดยออกไซด์พลัมบานงไทเทเนียมโดยใช้ไนโตรเจน ด้วยวิธีดิซิร์แอดคติฟแมกนีตรอนสปีดเตอริง เพื่อนำไปใช้ในการเคลือบพลัมบานงบนวัสดุรองรับขนาดใหญ่ จากนั้นนำพลัมบานงที่เคลือบได้ไปอบอ่อนในบรรยากาศแก๊สในไตรเจนที่อุณหภูมิ 300 – 500 °C และนำไปวิเคราะห์โครงสร้างผลึกด้วยเทคนิค XRD วัดความหนาและลักษณะพื้นผิวด้วยเทคนิค FE-SEM วัดค่าความหยาบผิวด้วยเทคนิค AFM สรุปหัวข้อศึกษาสมบัติทางแสงและสมบัติโฟโตคตติไลติกด้วยเครื่อง UV-vis spectrophotometer จากการศึกษาพบว่าพลัมบานงที่เคลือบได้มีโครงสร้างผลึกส่วนใหญ่เป็นแบบอนาเทส และเมื่ออุณหภูมิอบอ่อนเพิ่มขึ้นพบโครงสร้างผลึกแบบรูไก์ ลักษณะพื้นผิวใกล้เคียงกัน พลัมบานงมีความหยาบผิวลดลง โดยมีค่าความหยาบผิวอยู่ระหว่าง 13.2 – 15.9 Å นอกจากนี้เมื่อเจือหั้งในไตรเจนพบว่าพลัมบานงที่เคลือบได้เกิดเดือนไปทางสีแดงและแสดงสมบัติโฟโตคตติไลติกที่ความยาวคลื่นในช่วงตามหัวเห็นได้

Hernandez-Rodriguez, Marques-Herrera, and Zapata-Navarro (2008) ศึกษาการเจือหั้งในพลัมบานงไทเทเนียมโดยออกไซด์ (TiO_xN_y) เตรียมด้วยวิธีดิซิร์แอดคติฟแมกนีตรอนสปีดเตอริง จากเป้าการเคลือบไทเทเนียม (Ti) ในแก๊สผสมอาร์กอนออกซิเจนและไนโตรเจน องค์ประกอบของพลัมบานงเปรียบเทียบกับการเจือหั้งในไนโตรเจน ($O_2 : N_2$) โครงสร้างและสมบัติทางแสงของพลัมบานงวิเคราะห์ด้วยเทคนิค X-ray diffraction (XRD) และ UV-vis spectroscopy ตามลำดับ สเปกตรัมรังสีเอกซ์สำหรับอัตราการไอล $O_2 : N_2$ ที่แตกต่างกันแสดงถึงการเกิดพลัมบานงไทเทเนียมโดยออกไซด์มีความเป็นผลึกมากขึ้นเมื่อปริมาณแก๊สในไตรเจนในแซมเบอร์ต่ำสุด ปริมาณในไตรเจนในแซมเบอร์เปลี่ยนเฟสไทเทเนียมโดยออกไซด์เป็นเฟสอนาคต สำหรับปริมาณแก๊ส

ในโครงสร้างสูงสุด diffractrogram แสดงเฟสไทเทเนียมในไตรดีไนฟ์ล์มเท่านั้น ค่าการส่องผ่านแสง และค่าซึ่งว่างแบบพลังงานเพิ่มขึ้นเมื่ออัตราการไหลด $O_2 : N_2$ เพิ่ม และเมื่ออัตราการไหลด $O_2 : N_2$ ต่ำสุด ฟิล์ม TiO_xN_y มีลักษณะทึบและการดูดกลืนแสงเปลี่ยนเป็นค่าต่ำ

Liu et al. (2008) ศึกษาโครงสร้างและสมบัติโฟโตะติกของฟิล์มไทเทเนียม โดยออกไซด์เงินในโครงสร้างชั้นเคลือบด้วยวิธีอาร์เอฟรีแอคตีฟแมกนีตอรอนสปีตเตอริง นาน 90 นาที กำลังไฟฟ้าในการเคลือบท่ากับ 75, 95 และ 130 W จากเทคนิค XRD พบว่า ฟิล์มบางที่เคลือบได้มี ความเป็นผลึกต่ำ และเมื่อกำลังไฟฟ้าเพิ่มขึ้น ฟิล์มบางทั้งหมดมีความเป็นผลึกมากขึ้น โดยมี โครงสร้างผลึกแบบอนาเทส แต่มีความเป็นผลึกน้อยกว่าฟิล์มที่ไม่ได้ออกด้วยในโครงสร้าง ทั้งนี้ค่า d-spacing ขั้นตอนด้วยจากเทคนิค SEM พบว่าการเจือในโครงสร้างเป็นการทำลายความเป็น ผลึกของฟิล์มบางไทเทเนียม โดยออกไซด์นักจากนี้เมื่อกำลังไฟฟ้าเพิ่มขึ้นฟิล์มบางมีความหนามาก ขึ้น แบบพลังงานลดลง โดยมีค่าอยู่ในช่วง 2.7 – 3.11 eV สุดท้ายเมื่อนำฟิล์มบางไปทดสอบสมบัติ โฟโตะติก พบว่าฟิล์มบางที่เจือแล้วแสดงสมบัติโฟโตะติกที่ความยาวคลื่นในช่วง แสงอัตราไวโอลেตลดลง แต่เมื่อกำลังไฟฟ้าเพิ่มขึ้น ฟิล์มบางแสดงสมบัติโฟโตะติกที่ความ ยาวคลื่นในช่วงความองเร้นได้ดีขึ้น

Prabakara et al. (2008) ศึกษาการเพิ่มอัตราไหลดแก๊สในโครงสร้างในกระบวนการเคลือบ ฟิล์มบางไทเทเนียม โดยออกไซด์ด้วยวิธีดิซิรีแอคตีฟแมกนีตอรอนสปีตเตอริง จากนั้นนำฟิล์มบางที่ เคลือบได้มาวิเคราะห์โครงสร้างผลึกด้วยเทคนิค XRD วัดความหนาด้วยเครื่อง Surface Profiler วัดค่าการส่องผ่านแสงด้วยเครื่องスペกโตรมิเตอร์และทดสอบสมบัติโฟโตะติกด้วยเทคนิค FTIR จากการศึกษาพบว่าฟิล์มที่เคลือบได้มีโครงสร้างผลึกต่ำในชั้นพื้นที่เป็นแบบอนาเทส โดยมี โครงสร้างผลึกแบบรูไหลดปันอยู่เล็กน้อย และเมื่ออัตราไหลดแก๊สในโครงสร้างเพิ่มขึ้นพบว่าฟิล์มนี้ ความเป็นผลึกมากขึ้นและลดลง มีการดูดกลืนแสงที่ความยาวคลื่นสูงขึ้นและมีการดูดกลืนแสงที่ ความยาวคลื่นต่ำลง มีค่าแบบพลังงานอยู่ระหว่าง 2.8 – 3.1 eV โดยที่อัตราไหลดแก๊สในโครงสร้าง เท่ากับ 2 sccm ฟิล์มบางมีค่าแบบพลังงานต่ำที่สุดและการดูดกลืนแสงเปลี่ยนจากความยาวคลื่น 390 nm ไปเป็น 490 nm.